



TUGAS AKHIR - SS 145561

**PERAMALAN JUMLAH PENUMPANG KERETA REL DIESEL
(KRD) RUTE BOJONEGORO-SURABAYA MENGGUNAKAN
METODE ARIMA BOX-JENKINS**

**ERISANDY PURWADITYA PUTRI
NRP 1313 030 097**

**Dosen Pembimbing
Irhamah, M.Si, Ph.D**

**PROGRAM STUDI DIPLOMA III
JURUSAN STATISTIKA
Fakultas Matematika Dan Ilmu Pengetahuan Alam
Institut Teknologi Sepuluh Nopember
Surabaya 2016**



FINAL PROJECT - SS 145561

**FORECASTING THE NUMBER OF BOJONEGORO-SURABAYA
DIESEL TRAIN PASSENGER USING ARIMA BOX-JENKINS**

**ERISANDY PURWADITYA PUTRI
NRP 1313 030 097**

**Supervisor
Irhamah, M.Si, Ph.D**

**DIPLOMA III STUDY PROGRAM
DEPARTMENT OF STATISTICS
Faculty of Mathematics and Natural Sciences
Institut Teknologi Sepuluh Nopember
Surabaya 2016**

LEMBAR PENGESAHAN

PERAMALAN JUMLAH PENUMPANG KERETA REL DIESEL (KRD) RUTE BOJONEGORO-SURABAYA MENGGUNAKAN METODE ARIMA BOX-JENKINS

TUGAS AKHIR

Diajukan untuk Memenuhi Salah Satu Syarat
Memperoleh Gelar Ahli Madya
pada
Program Studi Diploma III Jurusan Statistika
Fakultas Matematika dan Ilmu Pengetahuan Alam
Institut Teknologi Sepuluh Nopember

Oleh :

ERISANDY PURWADITYA PUTRI
NRP. 1313 030 097

Disetujui oleh Pembimbing Tugas Akhir:

Irhama, M.Si, Ph.D

NIP. 19780406 200112 2 002

Irhama)

Mengetahui

Ketua Jurusan Statistika FMIPA-ITS

Dr. Suhartono
NIP. 19710929 199512 1 001

JURUSAN
STATISTIKA
SURABAYA, JUNI 2016



**LEMBAR PERNYATAAN
PERSETUJUAN PUBLIKASI KARYA ILMIAH
UNTUK KEPENTINGAN AKADEMIS**

Sebagai mahasiswa Institut Teknologi Sepuluh Nopember Surabaya, yang bertanda tangan di bawah ini saya :

Nama : Erisandy Purwaditya Putri
Nrp. : 1313030097
Jurusan / Fak. : Statistika / FMIPA
Alamat kontak : Jl. Namata II RT 21 / RW 2, Desa Sidobandung, Kec. Baile, Kab. Bojonegoro
a. Email : erisandyputri20@gmail.com
b. Telp/HP : 081252459129

Menyatakan bahwa semua data yang saya *upload* di Digital Library ITS merupakan hasil final (revisi terakhir) dari karya ilmiah saya yang sudah disahkan oleh dosen penguji. Apabila dikemudian hari ditemukan ada ketidaksesuaian dengan kenyataan, maka saya bersedia menerima sanksi.

Demi perkembangan ilmu pengetahuan, saya menyetujui untuk memberikan **Hak Bebas Royalti Non-Ekslusif (Non-Exclusive Royalty-Free Right)** kepada Institut Teknologi Sepuluh Nopember Surabaya atas karya ilmiah saya yang berjudul :

Peramalan Jumlah Penumpang Kereta Rel Diesel (FRD) Rute Bojonegoro - Surabaya Menggunakan Metode ARIMA Box-Jenkins.

Dengan Hak Bebas Royalti Non-Ekslusif ini, Institut Teknologi Sepuluh Nopember Surabaya berhak menyimpan, mengalih-media/format-kan, mengelolanya dalam bentuk pangkalan data (*database*), mendistribusikannya, dan menampilkan/mempublikasikannya di internet atau media lain untuk kepentingan akademis tanpa meminta ijin dari saya selama tetap mencantumkan nama saya sebagai penulis/pencipta. Saya bersedia menanggung secara pribadi, segala bentuk tuntutan hukum yang timbul atas pelanggaran Hak Cipta dalam karya Ilmiah saya ini tanpa melibatkan pihak Institut Teknologi Sepuluh Nopember Surabaya.

Demikian pernyataan ini saya buat dengan sebenarnya.

Dosen Pembimbing 1

Irhamah, M.Si., Ph.D

NIP. 19780406 200112 2 002

Dibuat di : Surabaya

Pada tanggal : 29 Juni 2016

Yang menyatakan,

Erisandy Purwaditya Putri

Nrp. 1313030097

KETERANGAN :

Tanda tangan pembimbing wajib dibubuh stempel jurusan.

Form dicetak dan diserahkan di bagian Pengadaan saat mengumpulkan hard copy TA/Tesis/Disertasi.

PERAMALAN JUMLAH PENUMPANG KERETA REL DIESEL (KRD) TUJUAN BOJONEGORO-SURABAYA MENGGUNAKAN METODE ARIMA BOX-JENKINS

Nama Mahasiswa : Erisandy Purwaditya Putri
NRP : 1313 030 097
Program Studi : Diploma III
Jurusan : Statistika FMIPA ITS
Dosen Pembimbing : Irhamah, M.Si, Ph.D

Abstrak

Kereta Rel Diesel (KRD) Bojonegoro merupakan salah satu kereta api ekonomi lokal yang beroperasi di Jawa Timur. Dari beberapa kereta api dengan rute relasi Surabaya, KRD Bojonegoro merupakan satu-satunya kereta api ekonomi lokal yang melewati shortcut Surabaya Pasar Turi-Surabaya Gubeng. Manager Humas PT. KAI (Persero) DAOP (Daerah Operasi) VIII Surabaya yaitu Sumarsono mengatakan bahwa tingkat okupansi KA yang menuju Surabaya selalu penuh, jadi KA ini semakin menambah pilihan bagi masyarakat. Dari penjelasan dan pernyataan tersebut memunculkan kemungkinan bahwa jumlah penumpang KRD Bojonegoro lebih banyak dibandingkan dengan kereta api ekonomi lokal lainnya yang beroperasi di Jawa Timur. Jumlah penumpang tersebut dapat dinyatakan sebagai data runtun waktu dalam periode harian, sehingga jumlah penumpang setiap harinya pasti tidak akan sama dan pada periode mendatang mungkin terdapat jumlah penumpang yang sama, bahkan lebih banyak atau sedikit. Untuk mengetahui banyaknya jumlah penumpang KRD Bojonegoro pada periode mendatang, perlu dilakukan peramalan dengan menggunakan metode ARIMA Box-Jenkins. ARIMA Box-Jenkins digunakan karena metode ini sangat kuat untuk menghasilkan peramalan jangka pendek yang lebih akurat serta model baku yang banyak digunakan untuk memodelkan data runtun waktu, selain itu juga dapat diterapkan pada semua pola data runtun waktu. Hasil analisis menunjukkan bahwa model ARIMA yang diperoleh terdapat fenomena musiman mingguan, sehingga dapat diperkirakan jumlah penumpang KRD Bojonegoro terbanyak pada hari Jum'at, 1 Januari 2016 dan terendah pada hari Kamis, 7 Januari 2016.

Kata Kunci : ARIMA Box-Jenkins, Shortcut

FORECASTING THE NUMBER OF BOJONEGORO-SURABAYA DIESEL TRAIN PASSENGER USING ARIMA BOX-JENKINS

Student Name : Erisandy Purwaditya Putri
NRP : 1313 030 097
Program : Diploma III
Departement : Statistika FMIPA ITS
Academic Supervisor : Irhamah, M.Si, Ph.D

Abstract

Bojonegoro Diesel Train is the one of local economic train that operates in the East Java province. It is the only local economy train that passes through from Surabaya Pasar Turi shortcut to Surabaya Gubeng. PT. KAI public relations of the operation VIII Surabaya area is Mr. Sumarsono said that the occupancy of the train to Surabaya was always full, so that train progressively increased the people choices. From the explanation and the statement, raising the possibility that the amount of Bojonegoro Diesel Train passengers more than the other local economic train in the East Java Province. The amount of passengers that can be expressed as time series data in a daily period, bringing the total number of passenger each day certainly will not be the same and in future periods may be contained the same number of passengers, even more or less. Therefore, to determine the number of Bojonegoro Diesel Train passengers, it is necessary to forecasting using ARIMA Box-Jenkins. ARIMA Box-Jenkins used because the method is very robust to generate short-term forecasting more accurate and standard models are widely used to time series data modeling, in addition to the ARIMA Box-Jenkins can also be applied to any pattern of time series data. The analysis showed that the ARIMA model are obtained weekly seasonal phenomenon, so it can be estimated that the number of Bojonegoro Diesel Train passengers most on Friday, January 1st, 2016 and the lowest on Thursday, January 7th, 2016.

Keywords : ARIMA Box-Jenkins

KATA PENGANTAR

Assalamu'alaikum Wr. Wb

Segala puji syukur penulis panjatkan kehadirat Allah SWT Tuhan semesta alam atas berkat dan hidayah-Nya menuntun penulis untuk menyelesaikan laporan Tugas Akhir dengan Judul "**PERAMALAN JUMLAH PENUMPANG KERETA REL DIESEL (KRD) TUJUAN BOJONEGORO-SURABAYA MENGGUNAKAN METODE ARIMA BOX-JENKINS**"

Penulis dapat menyelesaikan laporan Tugas Akhir tidak lepas dari dukungan dan bimbingan berbagai pihak. Sehingga pada kesempatan ini penulis ingin menyampaikan ucapan terimakasih kepada :

1. Kedua Orang Tua penulis yang selalu memberi dukungan dan memberi fasilitas terbaik agar penulis dapat menyelesaikan studi dengan baik.
2. Ibu Irhamah, M.Si, Ph.D selaku dosen pembimbing laporan Tugas Akhir yang senantiasa dengan sabar dan teliti membimbing dan membekali berbagai ilmu kepada penulis hingga selesaiya laporan Tugas Akhir ini.
3. Ibu Wiwik Setya Winahju, MS dan Bapak R. Mohammad Atok, S.Si, M.Si selaku dosen pengaji yang telah memberikan kritik dan saran untuk menyempurnakan laporan Tugas Akhir ini.
4. Bapak Dr. Wahyu Wibowo, S.Si, M.Si selaku Ketua Program Studi yang baru saat pembuatan buku Tugas Akhir berlangsung sehingga membantu prosesi dalam pengambilan mata kuliah Tugas Akhir.
5. Bapak Dr. Suhartono selaku Ketua Jurusan Statistika dan dosen wali yang telah memberikan motivasi dan dukungan serta mempermudah kelancaran penulis untuk menyelesaikan studi dari awal masa perkuliahan hingga menyelesaikan laporan Tugas Akhir.
6. Seluruh Bapak dan Ibu Dosen yang ada di Jurusan Statistika yang telah memberikan banyak ilmu kepada penulis dan

memberikan masukan positif agar penulis dapat lebih baik lagi ke depannya.

7. Seluruh staff Tata Usaha yang ada di Jurusan Statistika yang telah memperlancar penulis semasa perkuliahan.
8. Salah satu staff karyawan PT.KAI (Persero) Daerah Operasi IV Semarang bagian Pemasaran Angkutan Penumpang, Mas Sekha yang telah rela membagi waktunya untuk membantu segala hal yang dibutuhkan penulis, sehingga laporan Tugas akhir ini dapat diselesaikan dengan lancar.
9. Teman seperjuangan dalam menyelesaikan Tugas Akhir Titik Cahya Ningrum dan semua teman seperjuangan Laboratorium Komputasi yang selalu saling mendukung dan membantu, sehingga penulis dapat menyelesaikan laporan Tugas Akhir ini dengan lancar.
10. Teman seangkatan Umi dan Nanda yang telah meminjamkan sarana transportasi serta Farah, Hikma dan Kristin yang telah rela memberikan tumpangan, segala bantuan serta dukungan kepada penulis, sehingga penulis dapat menyelesaikan laporan Tugas Akhir ini dengan lancar.

Penulis berharap terdapat manfaat dari laporan Tugas Akhir ini untuk pihak-pihak terkait terutama pembaca. Penulis sangat menyadari bahwa masih terdapat banyak kekurangan penulis dalam laporan Tugas Akhir ini. Sehingga penulis berharap dapat menerima kritik dan saran yang dapat membangun penulis agar lebih baik lagi untuk penelitian selanjutnya.

Wa'alaikumsalam Wr. Wb

Surabaya, Juni 2016

Penulis

DAFTAR ISI

| | Halaman |
|---|---------|
| HALAMAN JUDUL | i |
| TITLE PAGE | iii |
| LEMBAR PENGESAHAN | v |
| ABSTRAK | vii |
| ABSTRACT | ix |
| KATA PENGANTAR | xi |
| DAFTAR ISI | xiii |
| DAFTAR GAMBAR | xv |
| DAFTAR TABEL | xvi |
| DAFTAR LAMPIRAN | xvii |
| BAB I PENDAHULUAN | |
| 1.1 Latar Belakang | 1 |
| 1.2 Rumusan Masalah | 3 |
| 1.3 Tujuan Penelitian | 4 |
| 1.4 Manfaat Penelitian | 4 |
| 1.5 Batasan Masalah | 4 |
| BAB II TINJAUAN PUSTAKA | |
| 2.1 Analisis Deret Waktu | 5 |
| 2.2 Identifikasi Model | 5 |
| 2.2.1 Stasioneritas Data dalam <i>Time Series</i> | 5 |
| 2.2.2 Fungsi Autokorelasi (<i>Autocorrelation Function</i>) dan Fungsi Autokorelasi Parsial (<i>Partial Autocorrelation Function</i>) | 7 |
| 2.3 Model-model ARIMA | 9 |
| 2.4 Penaksiran Parameter | 10 |
| 2.5 Pengujian Signifikansi Parameter..... | 13 |
| 2.6 Pemeriksaan Diagnostik | 14 |
| 2.7 Kriteria Pemilihan Model Terbaik..... | 16 |
| 2.8 Deteksi <i>Outlier</i> | 17 |

| | |
|---|----|
| BAB III METODOLOGI PENELITIAN | |
| 3.1 Sumber Data | 19 |
| 3.2 Variabel Penelitian | 19 |
| 3.3 Langkah Penelitian | 19 |
| 3.4 Diagram Alir | 20 |
| BAB IV ANALISIS DAN PEMBAHASAN | |
| 4.1 Pembentukan Model ARIMA | 23 |
| 4.2 Peramalan Jumlah Penumpang KRD Bojonegoro dengan Rute Bojonegoro-Surabaya | 34 |
| BAB V KESIMPULAN DAN SARAN | |
| 5.1 Kesimpulan | 39 |
| 5.2 Saran..... | 39 |
| DAFTAR PUSTAKA | 41 |
| LAMPIRAN | 43 |

DAFTAR GAMBAR

Halaman

| | | |
|--------------------|--|----|
| Gambar 3.1 | <i>Flow Chart Langkah Penelitian Secara Umum .</i> | 20 |
| Gambar 3.2 | <i>Flow Chart Pemodelan ARIMA).....</i> | 21 |
| Gambar 4.1 | <i>Time Series Plot Jumlah Penumpang KRD Bojonegoro</i> | 23 |
| Gambar 4.2 | Transformasi <i>Box-Cox</i> Jumlah Penumpang KRD Bojonegoro | 24 |
| Gambar 4.3 | Plot ACF Jumlah Penumpang KRD Bojonegoro | 25 |
| Gambar 4.4 | Plot ACF dan PACF Jumlah Penumpang KRD Bojonegoro | 27 |
| Gambar 4.5 | Plot ACF Jumlah Penumpang KRD Bojonegoro dengan <i>Differencing</i> 1 dan 7 | 28 |
| Gambar 4.6 | Plot PACF Jumlah Penumpang KRD Bojonegoro dengan <i>Differencing</i> 1 dan 7 | 29 |
| Gambar 4.7 | Plot Data <i>Out Sample</i> dengan Data Estimasi dari Model ARIMA $(1,1,1)(0,1,1)7$ dan ARIMA $([3,20],1,1)(0,1,1)7$ | 31 |
| Gambar 4.8 | Plot Data Aktual, Fits dan Data Ramalan | 35 |
| Gambar 4.9 | Plot Residual antara Data Aktual dan Fits | 36 |
| Gambar 4.10 | Plot Data Ramalan dan Aktual Bulan Januari 2016..... | 37 |

DAFTAR TABEL

Halaman

| | |
|---|----|
| Tabel 2.1 Beberapa Nilai λ pada Transformasi <i>Box-Cox</i> yang Bersesuaian..... | 6 |
| Tabel 2.2 Korektistik Teoritis Model AR, MA atau ARMA Untuk Pola Data Stasioner | 9 |
| Tabel 4.1 Hasil Pengujian <i>Augmented Dickey Fuller</i> Jumlah Penumpang KRD Bojonegoro | 26 |
| Tabel 4.2 Pengujian Signifikansi Parameter Model ARIMA Jumlah Penumpang KRD bojonegoro | 29 |
| Tabel 4.3 Pemeriksaan Diagnostik Residual Data Harian Jumlah Penumpang KRD Bojonegoro | 30 |
| Tabel 4.4 Perbandingan Kebaikan Model Jumlah Penumpang KRD Bojonegoro | 32 |
| Tabel 4.5 Peramalan Jumlah Penumpang KRD Bojonegoro . | 34 |

BAB I

PENDAHULUAN

1.1 Latar Belakang

Keberadaan moda transportasi seperti pesawat, kereta dan bus sangat membantu mobilitas masyarakat di Indonesia, selain itu masyarakat sekarang dapat mengakses moda transportasi tersebut dengan mudah. Tarif yang diberlakukan pada setiap moda transportasi juga masih dapat dijangkau oleh masyarakat menengah kebawah, kecuali untuk moda transportasi pesawat, hanya masyarakat kelas menengah keatas yang dapat mengakses moda transportasi tersebut. Ada kalanya terdapat beberapa perusahaan maskapai penerbangan yang memberikan diskon besar sehingga masyarakat kelas menengah kebawah-pun dapat mengakses pesawat, akan tetapi moda transportasi seperti kereta api masih menjadi primadona dikalangan masyarakat kelas menengah kebawah. Kereta api yang biasa digunakan oleh masyarakat kelas menengah kebawah adalah kereta api kelas ekonomi, karena harga tiket yang diberlakukan masih dapat dijangkau dan masyarakat juga dapat mengakses kereta api tersebut dengan mudah.

Khususnya di Jawa Timur terdapat beberapa kereta api ekonomi lokal yang beroperasi yaitu kereta api Rapih Doho dan Penataran dengan rute Surabaya kota-Blitar, KRD (Kereta Rel Diesel) Kertosono dengan rute Surabaya kota-Kertosono, Komuter dengan rute Surabaya kota-Porong, KRD Bojonegoro dengan rute Surabaya-Bojonegoro, Pandanwangi dengan rute Kalibaru-Jember dan Probawangi dengan rute Surabaya-Probolinggo dan Probolinggo-Banyuwangi. Dari beberapa kereta api dengan rute relasi Surabaya, KRD Bojonegoro merupakan satu-satunya kereta api ekonomi lokal yang melewati *shortcut* Surabaya Pasar Turi-Surabaya Gubeng. Manager Humas PT. KAI (Persero) DAOP VIII Surabaya yaitu Sumarsono mengatakan bahwa KA ekonomi ini disediakan untuk memenuhi kebutuhan transportasi masyarakat yang aman, nyaman dan murah, khususnya untuk masyarakat menengah kebawah, se-

erti pedagang, pegawai dan mahasiswa (PT. KAI, 2015). Sumarsono juga menegaskan bahwa tingkat okupansi KA yang menuju Surabaya selalu penuh, jadi KA ini semakin menambah pilihan bagi masyarakat (PT. KAI, 2015). Dari pernyataan-pernyataan yang telah dijelaskan tersebut menjadi alasan pene-litian ini dilakukan, karena tingkat okupansi KA yang menuju Surabaya selalu penuh dan KRD Bojonegoro adalah satu-satunya kereta api ekonomi lokal di Jawa Timur yang melewati *shortcut* Surabaya Pasar Turi-Surabaya Gubeng. Sehingga, kemungkinan jumlah penumpang KRD Bojonegoro lebih banyak dibandingkan dengan kereta api ekonomi lokal lainnya yang ada di Jawa Timur.

Penelitian ini dilakukan untuk mengetahui banyaknya penumpang KRD Bojonegoro pada periode yang mendatang agar PT. KAI (Persero) DAOP (Daerah Operasi) IV Semarang, DAOP VIII Surabaya dan Stasiun Besar Kereta Api Bojonegoro memperoleh tambahan informasi untuk memenuhi kebutuhan penumpang atau masyarakat dengan baik. Adapun cara untuk mengetahui banyaknya penumpang KRD Bojonegoro yaitu dengan meramalkan jumlah penumpang KRD Bojonegoro pada periode-periode sebelumnya dengan menggunakan metode ARIMA Box-Jenkins. Box-Jenkins menunjukkan bahwa model ARIMA merupakan model baku yang banyak digunakan untuk memodelkan data runtun waktu dan sebagai alat yang sangat kuat dalam menghasilkan peramalan-peramalan jangka pendek yang lebih akurat (Kartikawati, 2012). Selain itu model ARIMA juga dapat diterapkan pada semua pola data runtun waktu, maka dari itu metode ARIMA Box-Jenkins ini digunakan untuk meramalkan jumlah penumpang KRD Bojonegoro rute Bojonegoro-Surabaya. Beberapa penelitian yang pernah dilakukan sebelumnya mengenai peramalan jumlah penumpang kereta api menggunakan metode ARIMA Box-Jenkins adalah analisis deret waktu untuk meramalkan banyaknya penumpang harian kereta rel diesel (KRD) tujuan Kertosono dari Surabaya menggunakan metode ARIMA Box-Jenkins oleh Wijaya (2011) diperoleh model ARIMA $([1,5], 0, 0)(0, 1, 1)^7$, Rahmadhani (2010) menggunakan metode ARIMA Box-Jenkins untuk meramalkan banyaknya penum-

pang kereta api kelas bisnis eksekutif jurusan Madiun-Jakarta dan diperoleh model ARIMA (1,1,2) dan analisis deret waktu untuk meramalkan jumlah penumpang kereta api Rapih Dhoho jurusan Surabaya-Blitar lewat Kertosono oleh Musyafa (2004) dan diperoleh model ARIMA (2, 0, 0)(0,1,1)⁷.

Berdasarkan tiga peramalan jumlah penumpang kereta api yang pernah dilakukan, penelitian tentang jumlah penumpang KRD Bojonegoro menggunakan metode ARIMA Box-Jenkins belum pernah dilakukan sebelumnya. Oleh karena itu, alasan ini pula yang melatarbelakangi penelitian ini dilakukan. Harapan dari hasil penelitian ini yaitu dapat membantu PT. KAI (Persero) DAOP IV Semarang, DAOP VIII Surabaya dan Stasiun Besar Kereta Api Bojonegoro untuk memperoleh tambahan informasi tentang banyaknya penumpang KRD Bojonegoro pada periode-periode yang akan datang, agar PT. KAI (Persero) DAOP IV Semarang, DAOP VIII Surabaya dan Stasiun Besar Kereta Api Bojonegoro dapat mempersiapkan segala kebutuhan penumpang atau masyarakat dengan baik.

1.2 Rumusan Masalah

KRD Bojonegoro adalah satu-satunya kereta api ekonomi lokal di Jawa Timur yang melewati *shortcut* Surabaya Pasar Turi-Surabaya Gubeng dengan tingkat okupansi KA yang menuju Surabaya selalu penuh. Hal tersebut menimbulkan kemungkinan bahwa jumlah penumpang KRD Bojonegoro lebih banyak jika dibandingkan dengan kereta api ekonomi lokal lainnya di Jawa Timur. Jumlah penumpang tersebut dapat dinyatakan sebagai data runtun waktu dalam periode harian, sehingga jumlah penumpang setiap harinya pasti tidak akan sama dan pada hari-hari tertentu terdapat jumlah penumpang yang terlalu sedikit atau terlalu banyak. Maka dari itu perlu dilakukan analisis terhadap jumlah penumpang KRD Bojonegoro-Surabaya untuk mengetahui apakah pada periode-periode mendatang, jumlah penumpang akan selalu banyak setiap harinya atau ada hari-hari tertentu dimana KRD tersebut mempunyai sedikit penumpang. Karena belum diketahui secara pasti pola data run-

tun waktu yang akan dihasilkan maka metode ARIMA Box-Jenkins merupakan metode yang sesuai untuk menyelesaikan permasalahan tersebut, yaitu untuk memodelkan dan meramalkan jumlah penumpang KRD Bojonegoro rute Bojonegoro-Surabaya pada periode-periode mendatang.

1.3 Tujuan Penelitian

Tujuan yang diperoleh berdasarkan perumusan masalah adalah sebagai berikut.

1. Memodelkan data jumlah penumpang KRD Bojonegoro rute Bojonegoro-Surabaya menggunakan model ARIMA Box-Jenkins.
2. Mengetahui ramalan jumlah penumpang KRD Bojonegoro rute Bojonegoro-Surabaya untuk periode satu bulan kedepan.

1.4 Manfaat Penelitian

Manfaat yang diperoleh dari penelitian ini adalah dapat memberikan tambahan informasi untuk PT. KAI (Persero) DAOP (Daerah Operasi) VIII Surabaya, DAOP IV Semarang dan Stasiun Besar Kereta Api Bojonegoro.

1.5 Batasan Masalah

Pada penelitian ini tidak bisa dilakukan pemeriksaan pada *Time Series Plot* untuk mengetahui adanya indikasi musiman pada jumlah penumpang KRD Bojonegoro di setiap tahunnya, karena adanya keterbatasan data yang diperoleh yaitu data harian jumlah penumpang KRD Bojonegoro pada bulan April sampai bulan Desember 2015. Data yang seharusnya digunakan adalah data harian jumlah penumpang KRD Bojonegoro dari bulan Januari 2014 sampai dengan bulan Desember 2015.

BAB II

TINJAUAN PUSTAKA

2.1 Analisis Deret Waktu

Analisis deret waktu (*Time series Analysis*) adalah suatu rangkaian tersusun dari pengamatan dan biasanya tersusun berdasarkan waktu, terutama pada interval waktu yang sama (Wei, 2006). Analisis deret waktu merupakan suatu contoh dari proses stokastik. Proses stokastik adalah serangkaian data dari pengamatan yang terjadi berdasarkan indeks waktu secara berurutan, dimana pengambilan datanya dilakukan pada interval waktu yang tetap dan sumber yang sama (Wei, 2006). Setiap pengamatan dinyatakan sebagai variabel random Z_t yang didapatkan berdasarkan indeks waktu tertentu (t_i) sebagai urutan waktu pengamatan, sehingga penulisan data *time series* adalah $Z_{t_1}, Z_{t_2}, Z_{t_3}, \dots, Z_{t_n}$. Terdapat beberapa hal yang harus dilakukan untuk mendapatkan model ARIMA Box-Jenkins yaitu identifikasi model, estimasi dan signifikansi parameter, pemeriksaan residual dan pemilihan model terbaik.

2.2 Identifikasi Model

Sebelum melakukan identifikasi untuk menentukan model ARIMA yang akan digunakan, terdapat hal-hal yang harus diperhatikan yaitu stasioneritas data, fungsi autokorelasi dan autokorelasi parsial.

2.2.1 Stasioneritas Data dalam *Time series*

Proses *time series* seperti aspek AR dan MA dari model AR-MA hanya digunakan untuk data yang stationer, akan tetapi terdapat banyak aplikasi *time series* yang digunakan dalam bidang ekonomi dan bisnis mempunyai data yang tidak stasioner (Wei, 2006). Terdapat stasioneritas data dalam *time series* yaitu stasioneritas data dalam mean dan stasioneritas data dalam varians. Untuk mengetahui stasioneritas data dalam mean dapat dilakukan pemeriksaan pada plot ACF, jika pola plot tersebut turun cepat maka dapat diindikasikan bahwa data telah stasioner dalam mean. Stasioneritas data dalam mean juga dapat diketahui melalui pengujian *Augmented*

Dickey Fuller dengan hipotesis dan statistik ujinya adalah sebagai berikut (Wei, 2006).

Hipotesis :

$$H_0 : \text{Data tidak stasioner} (\delta = 0)$$

$$H_1 : \text{Data telah stasioner} (\delta < 0)$$

Statistik Uji :

$$\tau^* = \frac{\hat{\delta}}{s.e(\hat{\delta})} \quad (2.1)$$

Daerah penolakan :

Tolak H_0 jika $\tau^* > t_{(1-\alpha/2), df}$ atau $p\text{-value} < \alpha$

Untuk mengatasi ketidakstasioneran terhadap mean yaitu menggunakan metode pembedaan atau *differencing*, persamaan untuk proses *differencing* dapat dituliskan sebagai berikut (Wei, 2006).

$$W_t = (1 - B)^d Z_t \quad (2.2)$$

Sedangkan stasioneritas data dalam varians dapat diketahui dari nilai *Rounded value* atau batas kepercayaan yang terdapat pada transformasi *Box-Cox*, jika nilai *Rounded value* atau selang kepercayaan melewati angka satu, maka diindikasikan data telah stasioner dalam varians. Untuk data yang tidak stasioner dalam varians, dapat distasionerkan menggunakan transformasi *Box-Cox* sebagai berikut (Wei, 2006).

$$T(Z_t) = \frac{Z_t^\lambda - 1}{\lambda} \quad (2.3)$$

Berikut adalah beberapa nilai λ yang biasa digunakan, dan transformasinya.

Tabel 2.1 Beberapa Nilai λ pada Transformasi *Box-Cox* yang Bersesuaian

| Nilai estimasi λ | Transformasi |
|--------------------------|--------------------------------|
| -1,0 | $1/Z_t$ |
| -0,5 | $1/\sqrt{Z_t}$ |
| 0,0 | $\ln Z_t$ |
| 0,5 | $\sqrt{Z_t}$ |
| 1 | Z_t (tidak ada transformasi) |

(Wei, 2006)

2.2.2 Fungsi Autokorelasi (*Autocorrelation Function*) dan Fungsi Autokorelasi Parsial (*Partial Autocorrelation Function*)

Setelah data sudah stasioner dalam mean dan varians, maka langkah selanjutnya adalah identifikasi model dengan memperhatikan fungsi autokorelasi dan fungsi autokorelasi parsial untuk menduga model awal ARIMA yang sesuai untuk meramalkan data pada periode yang akan datang. Fungsi Autokorelasi atau *Autocorrelation Function* (ACF) merupakan keeratan hubungan linier antara pengamatan Z_t dan Z_{t+k} pada data *time series* yang dipisahkan oleh waktu sebesar k . Untuk proses *time series* yang stasioner (Z_t), mean yang diperoleh yaitu $E(Z_t) = \mu$ dan variansnya adalah $\text{var}(Z_t) = E(Z_t - \mu)^2 = \sigma^2$. Varians yang diperoleh tersebut konstan, dan kovarians $\text{cov}(Z_t, Z_s)$ yang fungsinya hanya pada perbedaan waktu $|t - s|$, sehingga kovarians antara Z_t dan Z_{t+k} adalah sebagai berikut (Wei, 2006).

$$\begin{aligned}\gamma_k &= \text{cov}(Z_t, Z_{t+k}) \\ &= E(Z_t - \mu)(Z_{t+k} - \mu)\end{aligned}\quad (2.4)$$

dan korelasi antara Z_t dan Z_{t+k} adalah

$$\rho = \frac{\text{cov}(Z_t, Z_{t+k})}{\sqrt{\text{var}(Z_t)} \sqrt{\text{var}(Z_{t+k})}} = \frac{\gamma_k}{\gamma_0} \quad (2.5)$$

dengan : $\text{var}(Z_t) = \text{var}(Z_{t+k}) = \gamma_0$

γ_k = fungsi autokovarians ke- k

ρ_k = fungsi autokorelasi atau *Autocorrelation Function* (ACF) pada lag ke- k ,

Untuk proses yang stasioner, fungsi autokovarians γ_k dan fungsi autokorelasi ρ_k memenuhi beberapa hal sebagai berikut.

1. $\gamma_0 = \text{var}(Z_t)$; $\rho_0 = 1$
2. $|\gamma_k| \leq \gamma_0$; $|\rho_k| \leq 1$
3. $\gamma_k = \gamma_{-k}$; $\rho_k = \rho_{-k}$

Sedangkan fungsi autokorelasi yang dihitung berdasarkan sampel

data dapat dirumuskan sebagai berikut (Wei, 2006).

$$\begin{aligned}\hat{\rho}_k &= \frac{\hat{\gamma}_k}{\hat{\gamma}_0} = \frac{\text{cov}(Z_t, Z_{t+k})}{\text{var}(Z_t)} \\ &= \frac{\sum_{t=1}^{n-k} (Z_t - \bar{Z})(Z_{t+k} - \bar{Z})}{\sum_{t=1}^n (Z_t - \bar{Z})^2}\end{aligned}\quad (2.6)$$

untuk $k = 0, 1, \dots, n$

Autokorelasi parsial antara Z_t dan Z_{t+k} akan memiliki nilai yang sama dengan autokorelasi biasa antara $(Z_t - \hat{Z}_{t+k})$ dengan $(Z_{t+k} - \hat{Z}_{t+k})$ sehingga diberikan P_k yaitu fungsi autokorelasi parsial. Berikut adalah persamaan fungsi autokorelasi parsial atau *Partial Auto-correlation Function* (PACF) (Wei, 1990).

$$P_k = \frac{\text{cov}[(Z_t - \hat{Z}_t), (Z_{t+k} - \hat{Z}_{t+k})]}{\sqrt{\text{var}(Z_t - \hat{Z}_t)} \sqrt{\text{var}(Z_{t+k} - \hat{Z}_{t+k})}} \quad (2.7)$$

sedangkan PACF untuk data sampel adalah sebagai berikut.

$$\hat{\phi}_{k+1,k+1} = \frac{\rho_{k+1} - \sum_{j=1}^k \hat{\phi}_{kj} \rho_{k+1-j}}{1 - \sum_{j=1}^k \hat{\phi}_{kj} \rho_j} \quad (2.8)$$

dengan $\hat{\phi}_{k+1,j} = \hat{\phi}_{kj} - \hat{\phi}_{k+1,k+1} \hat{\phi}_{k,k+1-j}$, $j = 1, 2, \dots, k$

Plot fungsi autokorelasi (ACF) dan fungsi autokorelasi parsial (PACF) dapat digunakan untuk mengidentifikasi model awal untuk pola data stasioner pada model ARIMA. Sebelum meramalkan data untuk periode yang akan datang, maka hal pertama yang harus dilakukan adalah menduga model awal dengan melihat plot-plot ACF dan PACF yang keluar dari batas kepercayaan pada lag-lag tertentu. Plot-plot yang keluar tersebut dikombinasikan dan dimasukkan kedalam model ARIMA. Sedangkan untuk model AR (p), MA (q) dan ARMA (p,q) dapat diidentifikasi melalui pola dari plot ACF dan PACF. Karakteristik teoritis beberapa model ARI-

MA disajikan dalam Tabel 2.2 sebagai berikut.

Tabel 2.2 Karakteristik Teoritis Model AR, MA atau ARMA untuk Pola Data Stasioner

| Model | ACF | PACF |
|------------|---|---|
| AR (p) | Turun cepat secara eksponensial atau sinusoidal | Terpotong setelah lag-p |
| MA (q) | Terpotong setelah lag-q | Turun cepat secara eksponensial atau sinusoidal |
| ARMA (p,q) | Turun setelah lag (q-p) | Turun setelah lag (p-q) |

(Wei, 2006)

2.3 Model-model ARIMA

Model-model *time series* Box Jenkins (ARIMA) terdiri dari beberapa model seperti *Autoregressive* (AR), *Moving Average* (MA), *Mixed Autoregressive Moving Average* (ARMA), *Autoregressive Integrated Moving Average* (ARIMA) (Wei, 2006). Berikut adalah bentuk model *Autoregressive* orde ke-p (AR (p)) secara umum berikut.

$$\dot{Z}_t = \mu + \phi_1 Z_{t-1} + \phi_2 Z_{t-2} + \phi_3 Z_{t-3} + \dots + \phi_p Z_{t-p} + a_t \quad (2.9)$$

dimana, μ = nilai konstan

ϕ_p = parameter autoregressive ke-p

a_t = nilai residual pada waktu ke-t,

sedangkan bentuk umum model *moving average* yang berorde q (MA (q)) adalah sebagai berikut.

$$\dot{Z}_t = \mu + a_t - \theta_1 a_{t-1} - \theta_2 a_{t-2} - \dots - \theta_q a_{t-q} \quad (2.10)$$

dimana, θ_q = parameter-parameter *moving average*

a_{t-q} = nilai residual pada waktu t-q

μ = suatu konstanta,

dan bentuk umum model campuran dari model AR (p) dan model MA (q) adalah sebagai berikut.

$$\dot{Z}_t = \mu + \phi_1 Z_{t-1} + \dots + \phi_p Z_{t-p} + a_t - \theta_1 a_{t-1} - \dots - \theta_q a_{t-q} \quad (2.11)$$

Sebuah *time series* dapat dikatakan mengikuti model *Autoregressive Integrated Moving Average* jika perbedaan ke-*d* yaitu $W_t = \nabla^d Z_t$ adalah proses ARMA yang stasioner. Jika Z_t mengikuti model ARMA (p,q) , maka dapat dikatakan bahwa Z_t adalah proses ARIMA (p,d,q) . Berikut adalah persamaannya (Cryer, 2008)

$$\phi(B)(1-B)^d Z_t = \theta(B)a_t \quad (2.12)$$

dimana $\phi(B) = (1 - \phi_1 B - \dots - \phi_p B^p)$, $\theta(B) = (1 - \theta_1 B - \dots - \theta_q B^q)$ dan a_t adalah sebuah proses *Gaussian N(0, σ_α^2) white noise* (Wei, 2006). Suatu proses *time series* Z_t yang terdiri dari hubungan dalam periode dan hubungan antar periode disebut sebagai model ARIMA musiman, dimana hubungan dalam periode tersebut adalah hubungan yang merepresentasikan korelasi antara $\dots, Z_{t-2}, Z_{t-1}, Z_t, Z_{t+1}, Z_{t+2}, \dots$. Sedangkan yang dimaksud dengan hubungan antar periode adalah hubungan yang merepresentasikan korelasi antara $\dots, Z_{t-2s}, Z_{t-s}, Z_{t+s}, Z_{t+2s}, \dots$. Berdasarkan penjelasan tersebut dapat diperoleh bentuk umum dari model ARIMA pada orde ke-*p,q* dengan proses *differencing* sebanyak *d*, sehingga notasi umum dari ARIMA $(p,d,q)(P, D, Q)$, adalah sebagai berikut (Wei, 2006).

$$\Phi_p(B^s)\phi_p(B)(1-B)^d(1-B^s)^D \dot{Z}_t = \theta_q(B)\Theta_Q(B^s)a_t \quad (2.13)$$

dimana, $\phi_p(B)$ dan $\theta_q(B)$ adalah faktor umum dari model *Autoregressive* (AR(*p*)) dan model *Moving Average* (MA (*q*)). Sedangkan $\Phi_p(B^s)$ dan $\Theta_Q(B^s)$ merupakan faktor musiman dari model *Autoregressive* dan model *Moving Average* dengan *s* adalah periode musiman, *p* dan *q* adalah suatu orde AR dan MA, sedangkan *d* dan *D* merupakan *differencing* terhadap data dan *differencing* musiman.

2.4 Penaksiran Parameter

Salah satu metode yang digunakan untuk menaksir parameter dari model ARIMA adalah *Conditional Least Square* (CLS), yaitu

sebuah metode yang menaksir parameter dengan meminimumkan jumlah kuadrat error (SSE). Jika diterapkan pada model AR (p) adalah sebagai berikut (Cryer, 2008).

$$Z_t - \mu = \phi(Z_{t-p} - \mu) + a_t \quad (2.14)$$

Dapat dilihat bahwa model tersebut merupakan sebuah model regresi dengan variabel prediktor Z_{t-1} dan variabel responnya adalah Z_t . Estimasi kuadrat terkecil dengan meminimalkan jumlah kuadrat perbedaan antara Z_t dan Z_{t-1} adalah sebagai berikut.

$$(Z_t - \mu) - \phi(Z_{t-p} - \mu) \quad (2.15)$$

Karena hanya Z_1, Z_2, \dots, Z_n yang diamati, maka hanya dapat disimpulkan dari $t = 2$ sampai $t = n$, sehingga,

$$S_c(\phi, \mu) = \sum_{t=2}^n [(Z_t - \mu) - \phi(Z_{t-p} - \mu)]^2 \quad (2.16)$$

hal ini biasanya disebut fungsi jumlah kuadrat bersyarat (*conditional sum of squares function*). Menurut prinsip kuadrat terkecil yaitu dengan menaksir ϕ dan μ , masing-masing nilai tersebut dapat meminimalkan $S_c(\phi, \mu)$ dengan nilai yang diamati yaitu Z_1, Z_2, \dots, Z_n . Dengan mempertimbangkan bahwa $\partial S_c / \partial \mu = 0$, sehingga,

$$\frac{\partial S_c}{\partial \mu} = \sum_{t=2}^n 2[(Z_t - \mu) - \phi(Z_{t-p} - \mu)](-1 + \phi) = 0 \quad (2.17)$$

bentuk sederhana untuk μ ,

$$\mu = \frac{1}{(n-1)(1-\phi)} \left[\sum_{t=2}^n Z_t - \phi \sum_{t=2}^n Z_{t-p} \right] \quad (2.18)$$

untuk n atau sampel yang berukuran besar,

$$\frac{1}{n-1} \sum_{t=2}^n Z_t \approx \frac{1}{n-1} \sum_{t=2}^n Z_{t-p} \approx \bar{Z} \quad (2.19)$$

dengan demikian, terlepas dari nilai ϕ , persamaan (2.18) berkurang menjadi,

$$\hat{\mu} \approx \frac{1}{1-\phi} (\bar{Z} - \phi \bar{Z}) = \bar{Z} \quad (2.20)$$

kecuali untuk efek akhir, oleh karena itu dapat dikatakan bahwa $\mu = \bar{Z}$. Meminimalisasikan fungsi jumlah kuadrat bersyarat yaitu

$S_c(\phi, \mu)$ yang berkaitan dengan parameter model AR, sehingga fungsi jumlah kuadrat bersyarat $S_c(\phi, \mu)$ dapat diturunkan terhadap ϕ adalah sebagai berikut.

$$\frac{\partial S_c(\phi, \bar{Z})}{\partial \phi} = \sum_{t=2}^n 2[(Z_t - \bar{Z}) - \phi(Z_{t-p} - \bar{Z})](Z_{t-p} - \bar{Z}) \quad (2.21)$$

Jika hasil turunan yang diperoleh dari persamaan (2.21) disamandengankan nol (0), maka dapat diperoleh juga nilai taksiran untuk ϕ yaitu parameter model AR (p) adalah sebagai berikut.

$$\hat{\phi} = \frac{\sum_{t=2}^n (Z_t - \bar{Z})(Z_{t-p} - \bar{Z})}{\sum_{t=2}^n (Z_{t-p} - \bar{Z})^2} \quad (2.22)$$

Jika *Conditional Least Square* (CLS) diterapkan pada model MA(q) adalah sebagai berikut.

$$\dot{Z}_t = \mu + a_t - \theta a_{t-1} \quad (2.23)$$

Pada persamaan (2.23) dapat dilihat bahwa tidak jelas bagaimana metode kuadrat terkecil atau regresi dapat diterapkan untuk model tersebut. Namun, terdapat model MA (q) yang dapat dinyatakan sebagai berikut (Cryer, 2008).

$$Z_t = -\theta Z_{t-1} - \theta^2 Z_{t-2} - \theta^3 Z_{t-3} - \dots + a_t \quad (2.24)$$

Sebuah model autoregresif dengan orde yang tak terbatas. Jadi metode kuadrat terkecil dapat dilakukan pada model tersebut dengan memilih nilai θ yang meminimalkan,

$$S_c(\theta) = \sum (a_t)^2 = \sum [Z_t + \theta Z_{t-1} + \theta^2 Z_{t-2} + \theta^3 Z_{t-3} + \dots]^2 \quad (2.25)$$

dimana secara implisit $a_t = a_t(\theta)$ adalah sebuah fungsi dari rangkai-an observasi dan parameter θ yang tidak diketahui. Dari persamaan (2.25) dapat dilihat bahwa masalah metode kuadrat terkecil adalah nonlinier dalam parameter, sehingga tidak akan dapat meminimal-kan $S_c(\theta)$ dengan menurunkannya terhadap nilai θ dan kemudian hasilnya disamadengangkan 0. Masalah lain yang terdapat dalam persamaan (2.25) adalah tidak menunjukkan batas eksplisit pada penjumlahan. Terdapat cara ntuk mengatasi masalah tersebut yaitu dengan mengevaluasi $S_c(\theta)$ untuk nilai tunggal θ yang diberikan dalam persamaan (2.24), sehingga diperoleh persamaan sebagai beri-

kut.

$$a_t = Z_t + \theta a_{t-1} \quad (2.26)$$

Nilai a_1, a_2, \dots, a_n dapat dihitung secara rekursif jika memiliki nilai awal a_0 , maka dari itu nilai a_0 dimisalkan 0 yaitu $a_0 = 0$, sehingga diperoleh persamaan sebagai berikut.

$$\begin{aligned} a_1 &= Z_1 \\ a_2 &= Z_2 + \theta a_1 \\ a_3 &= Z_3 + \theta a_2 \\ &\vdots \\ a_n &= Z_n + \theta a_{n-1} \end{aligned} \quad (2.27)$$

Setelah memperoleh persamaan (2.27), langkah selanjutnya adalah menghitung estimasi parameter untuk model MA dengan rumus sebagai berikut.

$$S_c(\theta) = \sum(a_t)^2 \quad (2.28)$$

Untuk menghitung nilai $S_c(\theta)$ tergantung pada nilai a_0 yaitu $a_0 = 0$. Setelah mendapatkan nilai tersebut, kemudian diminimalisasi dengan menurunkannya terhadap θ dan disamadengarkan 0, sehingga diperoleh estimasi parameter θ untuk model MA.

2.5 Pengujian Signifikansi Parameter

Setelah mendapatkan estimasi parameter untuk model awal ARIMA, maka perlu dilakukan pengujian signifikansi terhadap parameter-parameter tersebut. Uji signifikansi parameter diperlukan karena signifikansi parameter pada model ARIMA merupakan salah satu kondisi yang harus terpenuhi untuk melakukan pemilihan model terbaik. Berikut adalah hipotesis yang digunakan untuk pengujian signifikansi parameter pada model AR (Bowerman, 1979).

Hipotesis :

$$H_0 : \phi_p = 0$$

$$H_1 : \phi_p \neq 0$$

Statistik Uji :

$$t = \frac{\hat{\phi}_p}{SE(\hat{\phi}_p)} \quad (2.29)$$

dengan $\hat{\phi}_p$ = taksiran koefisien parameter AR

$SE(\hat{\phi}_p)$ = standar error dari taksiran parameter AR

Daerah penolakan :

Tolak H_0 jika $|t| > t_{\alpha/2, n-k}$ atau $p\text{-value} < \alpha$.

Sedangkan hipotesis untuk pengujian signifikansi parameter untuk model MA adalah sebagai berikut.

Hipotesis :

$$H_0 : \theta_q = 0$$

$$H_1 : \theta_q \neq 0$$

Statistik Uji :

$$t = \frac{\hat{\theta}_q}{SE(\hat{\theta}_q)} \quad (2.30)$$

dengan $\hat{\theta}_q$ = taksiran koefisien parameter MA

$SE(\hat{\theta}_q)$ = standar error dari taksiran parameter MA

Daerah penolakan :

Tolak H_0 jika $|t| > t_{\alpha/2, n-k}$ atau $p\text{-value} < \alpha$.

2.6 Pemeriksaan Diagnostik

Setelah mengetahui signifikansi parameter pada model ARI-MA, maka perlu dilakukan pemeriksaan diagnostik terhadap residual yang dihasilkan oleh model tersebut. Terdapat dua pemeriksaan yang dilakukan yaitu pemeriksaan untuk mengetahui residual memenuhi asumsi berdistribusi normal dan residual memenuhi asumsi *white noise*. Pemeriksaan tersebut merupakan suatu kondisi juga yang harus dilakukan dan diketahui hasilnya untuk melakukan pemilihan model ARIMA terbaik. Pemeriksaan asumsi residual berdistribusi normal dilakukan dengan menggunakan uji *Kolmogorov Smirnov* dan berikut adalah hipotesis dan statistik ujinya (Minitab Inc, 2010).

H_0 : Residual berdistribusi normal

H_1 : Residual tidak berdistribusi normal
 Statistik uji :

$$D = \max(D^+, D^-) \quad (2.31)$$

Daerah penolakan :

Tolak H_0 jika $D > D_{(1-\alpha,n)}$ atau $p\text{-value} < \alpha$

Dimana :

$$D^+ = \max_i \{i/n - Z_{(i)}\}$$

$$D^- = \max_i \{Z_{(i)} - (i-1)/n\}$$

$$Z_{(i)} = F(X_{(i)})$$

n = banyaknya pengamatan

$F(X)$ = fungsi peluang kumulatif dari distribusi normal

$X(i)$ = data urutan ke- i dari sampel random, $1 \leq i \leq n$

Pemeriksaan selanjutnya adalah residual bersifat atau memenuhi asumsi *white noise*. Sebuah proses (a_t) dapat dikatakan suatu proses yang *white noise* jika proses tersebut merupakan sebuah urutan variabel acak yang tidak berkorelasi dari distribusi tetap dengan mean yang diperoleh konstan yaitu $E(a_t) = \mu_a$ dan biasanya diasumsikan 0, varians yang diperoleh juga konstan $\text{var}(a_t) = \sigma_a^2$ dan $\gamma_k = \text{cov}(a_t, a_{t+k}) = 0$ untuk semua $k \neq 0$. Berikut adalah hipotesis dan statistik uji dari pengujian asumsi *white noise* (Wei, 2006).

Hipotesis :

$H_0 : \rho_1 = \rho_2 = \dots = \rho_K = 0$ (residual bersifat *white noise*)

H_1 : minimal ada nilai $\rho_k \neq 0$ untuk $k = 1, 2, \dots, K$

(residual tidak bersifat *white noise*).

statistik uji :

$$Q = n(n+2) \sum_{k=1}^K (n-k)^{-1} \hat{\rho}_k^2 \quad (2.32)$$

Daerah penolakan :

Tolak H_0 jika $Q > \chi^2_{\alpha, df=K-p-q}$ atau $p\text{-value} < \alpha$.

dimana : n adalah banyaknya observasi

k adalah jumlah parameter yang ditaksir

2.7 Kriteria Pemilihan Model Terbaik

Langkah selanjutnya setelah melakukan pengujian asumsi adalah melakukan pemilihan model terbaik, dalam pemilihan model terbaik ini terdapat dua kriteria pemilihan yaitu pendekatan *In Sample* dan *Out Sample*. Pada pendekatan *In sample* terdapat dua kriteria pemilihan yaitu berdasarkan nilai *Akaike's Information Criterion* (AIC) dan *Schwartz's Bayesian Criterion* (SBC). AIC adalah kriteria yang digunakan untuk pemilihan model terbaik dengan mempertimbangkan banyaknya parameter dalam model, sedangkan SBC adalah kriteria yang digunakan untuk pemilihan model terbaik dengan mengikuti kriteria Bayesian. Berikut adalah rumus yang digunakan untuk menghitung nilai AIC dan SBC (Wei, 2006).

$$AIC(M) = n \ln \hat{\sigma}_\alpha^2 + 2M \quad (2.32)$$

$$SBC(M) = n \ln \hat{\sigma}_\alpha^2 + M \ln n \quad (2.33)$$

dimana, M = banyaknya parameter

$\hat{\sigma}_\alpha^2$ = estimasi maksimum likelihood σ_α^2

n = banyaknya pengamatan

Pada pendekatan *Out Sample* terdapat dua kriteria pemilihan yaitu berdasarkan nilai RMSE (*Root Mean Squared Error*) dan MAPE (*Mean Absolute Percentage Error*). RMSE digunakan untuk mengetahui akar kesalahan rata-rata kuadrat dari masing-masing model yang layak, sedangkan MAPE digunakan untuk mengetahui harga mutlak rata-rata dari persentase kesalahan masing-masing model. Berikut adalah rumus yang digunakan untuk menghitung RMSE dan MAPE (Wei, 2006).

$$RMSE = \sqrt{\frac{1}{M} \sum_{l=1}^M e_l^2}, \text{ dimana } e_l = Z_{n+l} - \hat{Z}_n(l) \quad (2.34)$$

$$MAPE = \left(\frac{1}{M} \sum_{l=1}^M \left| \frac{e_l}{Z_{n+l}} \right| \right) \times 100\% \quad (2.35)$$

dimana, n = banyaknya pengamatan data *In Sample*

M = banyaknya pengamatan data *Out Sample*

e_l = residual pada pengamatan ke- l

Z_{n+l} = nilai data aktual pada pengamatan ke- l

\hat{Z}_l = hasil peramalan pada pengamatan ke- l

2.8 Deteksi *Outlier*

Data yang digunakan pada penelitian ini adalah data harian jumlah penumpang kereta api, maka dari itu jumlah penumpang setiap harinya pasti tidak akan sama dan pada hari-hari tertentu terdapat jumlah penumpang yang terlalu sedikit atau terlalu banyak. Sehingga perlu dilakukan pendekripsi *outlier*, pada penelitian ini *outlier* dikelompokkan menjadi *Additive Outlier* dan *Level Shift Outlier*. *Additive outlier* hanya berpengaruh pada pengamatan ke- t , sedangkan *Level Shift Outlier* berpengaruh pada pengamatan ke- t , $t+1$ dan seterusnya, sehingga model dengan *outlier* secara umum adalah sebagai berikut (Wei, 2006).

$$\dot{Z}_t = \sum_{j=1}^k \varpi_j v_j(B) I_j^{(ij)} + \frac{\theta(B)}{\phi(B)} a_t \quad (2.36)$$

Dengan keterangan sebagai berikut:

$I_j^{(ij)}$: variabel yang menunjukkan adanya *outlier* pada waktu ke- T_j

$v_j(B)$: 1 untuk AO dan $\frac{\theta(B)}{\phi(B)}$ untuk LS

(Halaman ini sengaja dikosongkan)

BAB III

METODOLOGI PENELITIAN

3.1 Sumber Data

Data yang digunakan adalah data sekunder yaitu data harian jumlah penumpang kereta api ekonomi KRD Bojonegoro rute Bojonegoro-Surabaya. Data tersebut diperoleh dari PT. KAI (Persero) DAOP (Daerah Operasi) IV Semarang dan Stasiun Besar Kereta Api Bojonegoro pada tanggal 21 Maret 2016.

3.2 Variabel Penelitian

Variabel yang digunakan dalam penelitian ini adalah data harian jumlah penumpang kereta api ekonomi KRD Bojonegoro rute Bojonegoro-Surabaya bulan April-Desember 2015.

3.3 Langkah Penelitian

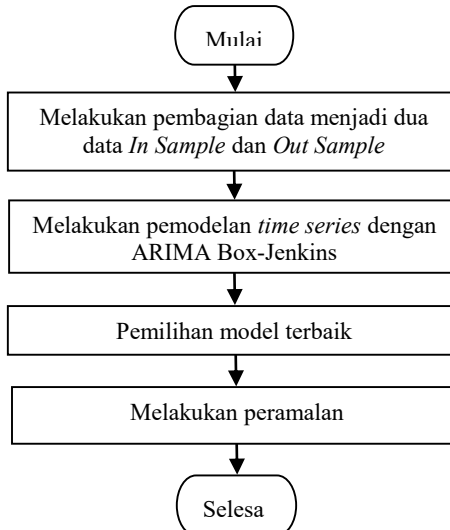
Langkah analisis untuk data jumlah penumpang KRD Bojonegoro rute Bojonegoro-Surabaya adalah sebagai berikut.

1. Membagi data menjadi dua yaitu *In Sample* sebanyak 244 data yang diambil dari bulan April-November 2015 dan *Out Sample* sebanyak 31 data yang diambil dari bulan Desember 2015. *In Sample* digunakan dalam tahap pemodelan, sedangkan *Out Sample* digunakan sebagai validasi
2. Melakukan pemodelan *time series* ARIMA :
 - a. Membuat *time series plot* pada data untuk mengetahui pola data.
 - b. Melakukan pemeriksaan pada data untuk mengetahui stasioneritas data dalam varians dan mean dengan melihat transformasi *Box-cox* untuk memeriksa data stasioner dalam varians dan plot ACF serta pengujian *Augmented Dickey Fuller* untuk memeriksa dan menguji data stasioner dalam mean.
 - c. Melakukan transformasi jika data tidak stasioner dalam varians dan melakukan *differencing* jika data tidak stasioner dalam mean.

- d. Menduga model ARIMA yang akan digunakan dengan melihat plot ACF dan PACF pada data yang sudah stasioner dalam mean dan varians.
 - e. Melakukan penaksiran parameter dan uji signifikansi parameter pada model ARIMA.
 - f. Melakukan pemeriksaan terhadap residual untuk mengetahui apakah residual sudah mengikuti distribusi normal dan memenuhi asumsi *white noise*.
3. Pemilihan model terbaik dari model ARIMA berdasarkan AIC, SBC untuk data *In Sample*, RMSE dan MAPE untuk data *Out Sample*.
 4. Melakukan peramalan pada data dengan menggunakan model ARIMA yang sesuai.
 5. Selesai.

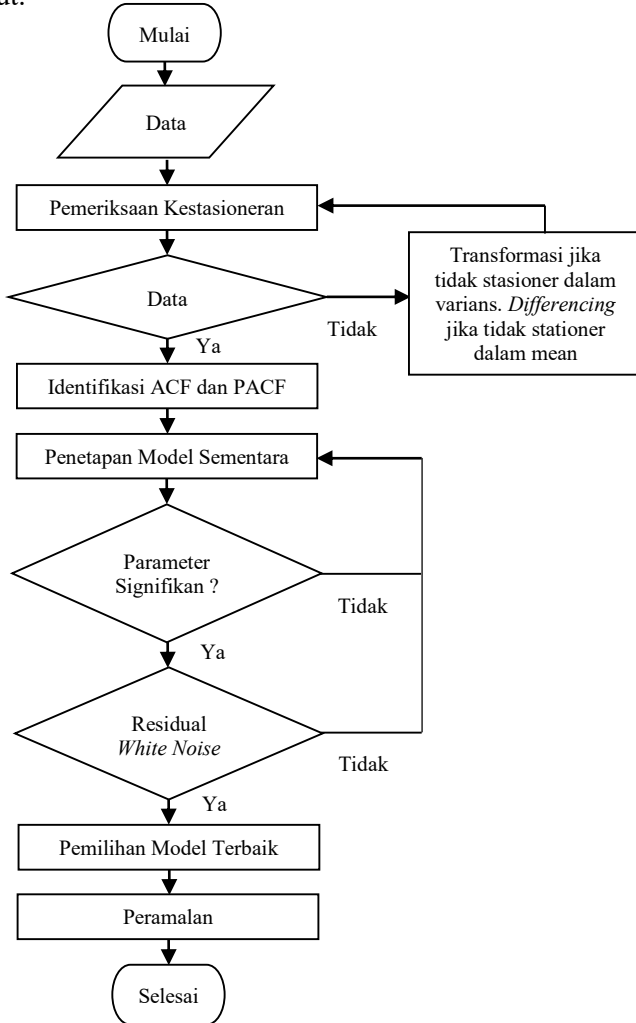
3.4 Diagram Alir

Langkah penelitian disajikan dalam diagram alir pada Gambar 3.1 sebagai berikut.



Gambar 3.1 Flow Chart Langkah Penelitian Secara Umum

sedangkan diagram alir atau *flow chart* untuk melakukan pemodelan *time series* menggunakan model ARIMA adalah sebagai berikut.



Gambar 3.2 Flow Chart Pemodelan ARIMA

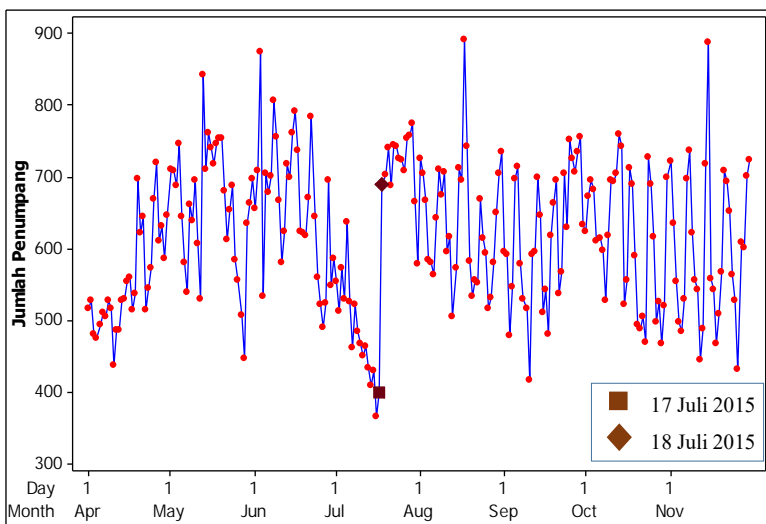
(Halaman ini sengaja dikosongkan)

BAB IV

ANALISIS DAN PEMBAHASAN

4.1 Pembentukan Model ARIMA

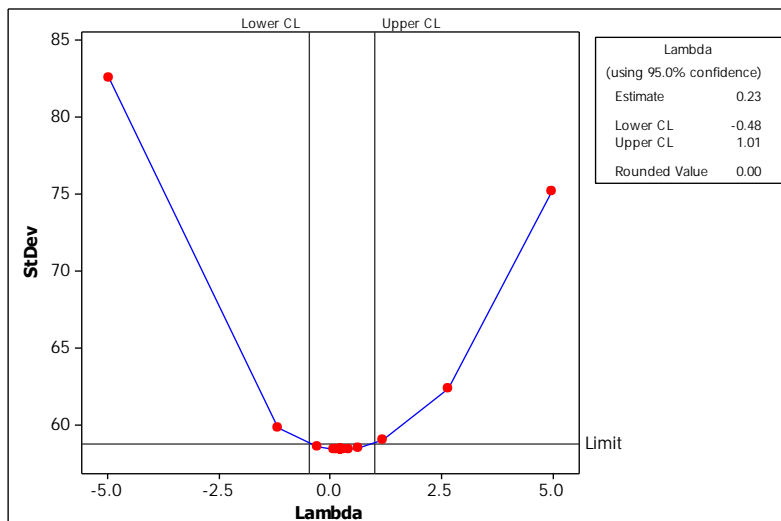
Data yang digunakan untuk pembentukan sebuah model adalah data *In Sample* yaitu data harian jumlah penumpang kereta api ekonomi KRD Bojonegoro, rute Bojonegoro-Surabaya pada bulan April sampai bulan November 2015. Hal pertama yang harus dilakukan adalah membuat *time series plot* pada data *In Sample* untuk mengetahui pola data yang terbentuk, berikut adalah *time series plot* dari jumlah penumpang KRD Bojonegoro.



Gambar 4.1 Time Series Plot Jumlah Penumpang KRD Bojonegoro

Berdasarkan Gambar 4.1 menunjukkan bahwa terdapat kenaikan jumlah penumpang yang sangat signifikan di antara tanggal 17-18 Juli, hal tersebut dikarenakan pada tanggal 17-18 Juli adalah hari libur nasional yaitu pelaksanaan Hari Raya Idul Fitri, sehingga banyak keluarga yang bepergian mengunjungi kerabat di Surabaya untuk bersilaturahmi. Gambar 4.1 juga menunjukkan

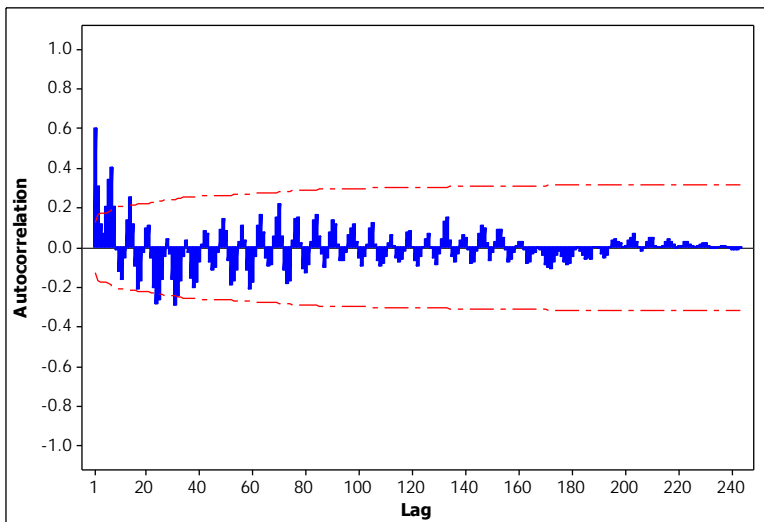
bahwa pola data yang terbentuk tidak berfluktuasi disekitar nilai rata-rata, sehingga dapat diindikasikan bahwa data tidak stasioner dalam mean. Untuk mengetahui bahwa data tidak stasioner dalam mean, maka perlu dilakukan pemeriksaan dan pengujian terhadap data harian jumlah penumpang KRD Bojonegoro rute Bojonegoro-Surabaya, pemeriksaan dan pengujian stasioneritas data dalam mean dilakukan setelah melakukan pemeriksaan stasioneritas data dalam varians. Pemeriksaan stasioneritas data dalam varians dilakukan dengan menggunakan nilai λ dari transformasi *Box-cox*. Transformasi *Box-cox* dari data harian jumlah penumpang KRD Bojonegoro ditunjukkan pada Gambar 4.2.



Gambar 4.2 Transformasi *Box-cox* Jumlah Penumpang KRD Bojonegoro

Gambar 4.2 dapat ditunjukkan bahwa data harian jumlah penumpang KRD Bojonegoro rute Bojonegoro-Surabaya memiliki nilai rounded value sebesar 0.00 dengan nilai selang kepercayaan yaitu upper sebesar 1.01 dan lower sebesar -0.46. Berdasarkan nilai selang kepercayaan yang telah diperoleh, dapat diketahui bahwa data telah stasioner dalam varians karena nilai selang keperca-

yaan telah melewati angka 1, sehingga tidak perlu dilakukan transformasi pada data harian jumlah penumpang KRD Bojonegoro. Setelah data stasioner dalam varians, maka langkah selanjutnya yang harus dilakukan adalah pemeriksaan dan pengujian stasioneritas data dalam mean. Untuk melakukan pemeriksaan stasioneritas data dalam mean yaitu dengan melihat plot ACF yang ditunjukkan pada gambar 4.3 sebagai berikut.



Gambar 4.3 Plot ACF Jumlah Penumpang KRD Bojonegoro

Plot ACF pada Gambar 4.3 menunjukkan pola turun cepat secara sinusodial, sehingga dapat dikatakan bahwa data telah stasioner dalam mean. Setelah melakukan pemeriksaan stasioneritas data dalam mean dengan melihat plot ACF, maka langkah selanjutnya adalah melakukan pengujian *Augmented Dickey Fuller* untuk mengetahui secara tepat dan benar bahwa data telah stasioner dalam mean. Berikut adalah pengujinya.

Hipotesis :

$$H_0 : \text{Data tidak stasioner} (\delta = 0)$$

$$H_1 : \text{Data telah stasioner} (\delta < 0)$$

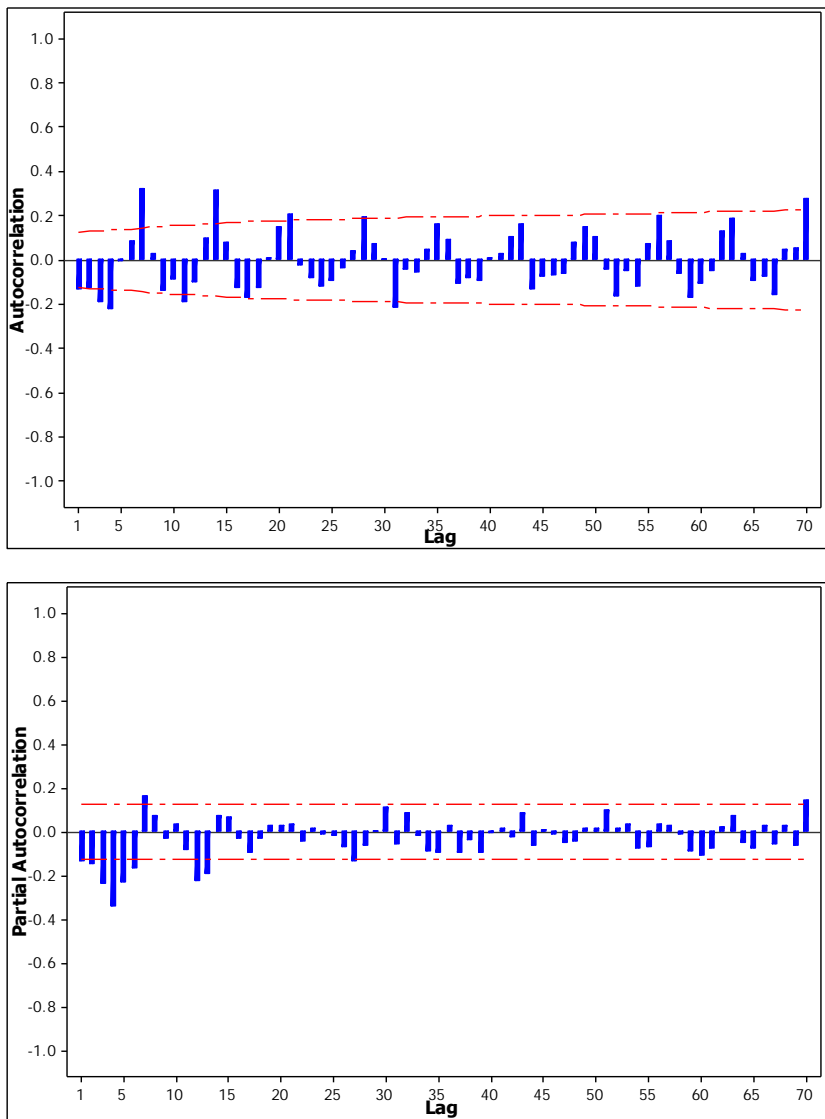
Statistik Uji :

$$\tau^* = \frac{\hat{\delta}}{s.e(\hat{\delta})}$$

Tabel 4.1 Hasil Pengujian *Augmented Dickey Fuller* Jumlah Penumpang KRD Bojonegoro

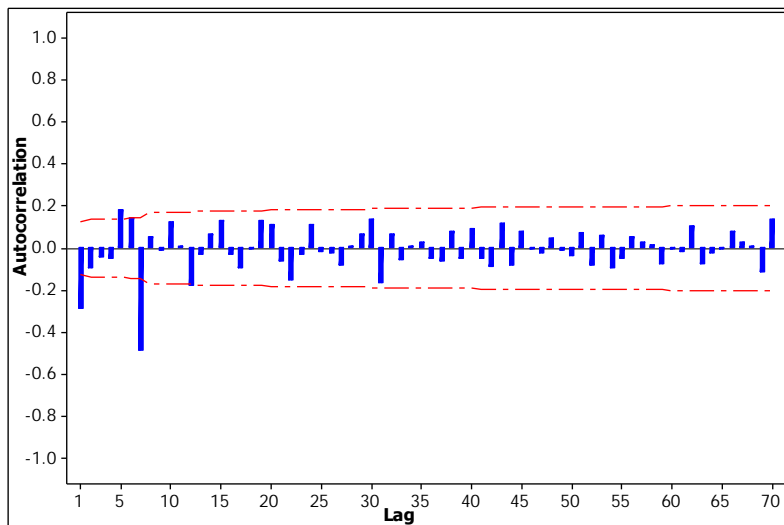
| Variabel | | <i>Augmented Dickey Fuller</i> | <i>p-value</i> |
|---------------------------------------|--------------------------------|------------------------------------|----------------|
| Jumlah Penumpang KRD Bojonegoro | Sebelum <i>Differencing</i> | -0.97 | 0.3331 |
| | Setelah <i>Differencing</i> | -17.72 | 0.0001 |
| | | | |
| | | | |

Tabel 4.1 menunjukkan hasil pengujian *Augmented Dickey Fuller* dengan nilai *p-value* sebesar 0.3331 dan diperoleh keputusan gagal tolak H_0 yang artinya data tidak stasioner dalam mean, sehingga data harus di lakukan *differencing* 1 pada data harian jumlah penumpang KRD Bojonegoro dan dilakukan pengujian *Augmented Dickey Fuller* kembali. Hasil dari pengujian *Augmented Dickey Fuller* pada data yang telah dilakukan *differencing* diperoleh nilai *p-value* sebesar 0.0001 dan nilai *Augmented Dickey Fuller* sebesar -17.72. Keputusan yang diperoleh adalah tolak H_0 , karena nilai *p-value* kurang dari nilai signifikan $\alpha = 0.05$, sehingga dapat disimpulkan bahwa data harian jumlah penumpang KRD Bojonegoro telah stasioner dalam mean. Secara garis besar dapat disimpulkan bahwa setelah melakukan *differencing* pada data yang tidak stasioner dalam mean, dapat mengatasi ketidakstasioneritasan data tersebut. Setelah data stasioner dalam mean dan varians, maka langkah selanjutnya adalah melakukan pendugaan model awal dengan melihat plot ACF dan PACF. Dari plot tersebut dapat diketahui pada lag berapa plot ACF dan PACF keluar dari batas kepercayaan. Plot-plot yang keluar digunakan untuk menduga model awal dengan mencoba satu per satu dan dikombinasikan ke dalam model ARIMA. Berikut adalah hasil plot ACF dan PACF yang ditunjukkan pada Gambar 4.4 sebagai berikut.

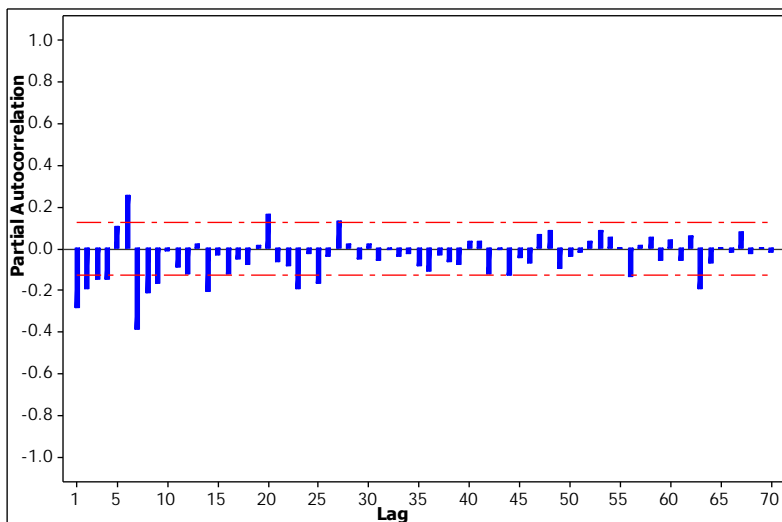


Gambar 4.4 Plot ACF dan PACF Jumlah Penumpang KRD Bojonegoro

Berdasarkan plot ACF dan PACF yang diperoleh pada Gambar 4.4 dapat diketahui bahwa plot ACF keluar pada lag 1, 3, 4, 7, 11, 14, 21, 28, 31 dan 70, sedangkan plot PACF keluar pada lag 1, 2, 3, 4, 5, 6, 7, 12, 13 dan 70, pada plot ACF dan PACF diindikasikan terdapat musiman 7. Sesudah dilakukan *differencing* 1, ternyata kelipatan lag 7 pada plot ACF masih tinggi, sehingga diindikasikan perlu untuk dilakukan *differencing* musiman 7. Setelah dilakukan *differencing* 1 dan 7 pada data harian jumlah penumpang KRD Bojonegoro, maka langkah selanjutnya adalah membuat dan mengidentifikasi plot ACF dan PACF dari data yang telah dilakukan *differencing* 1 dan 7 tersebut. Dari plot ACF dan PACF tersebut dapat digunakan untuk melakukan pendugaan model awal kembali dengan melihat dan mengkombinasikan plot-plot yang keluar pada lag-lag tertentu dari batas kepercayaan se-cara satu per satu kedalam model ARIMA. Berikut adalah plot ACF dan PACF dari data harian jumlah penumpang KRD Bojonegoro yang telah dilakukan *differencing* 1 dan 7.



Gambar 4.5 Plot ACF Jumlah Penumpang KRD Bojonegoro dengan *Differencing* 1 dan 7



Gambar 4.6 Plot PACF Jumlah Penumpang KRD Bojonegoro dengan *Differencing 1 dan 7*

Plot ACF keluar pada lag 1, 5, 6, 7 dan 12, hal tersebut dapat dilihat dari Gambar 4.5, sedangkan pada Gambar 4.6 dapat dilihat bahwa plot PACF keluar pada lag 1, 2, 3, 4, 6, 7, 8, 9, 14, 20, 23, 25, 27, 56 dan 63 yang . Terdapat indikasi musiman 7 di kedua plot tersebut, sehingga pendugaan model awal disajikan pada Tabel 4.2 sebagai berikut.

Tabel 4.2 Pengujian Signifikan Parameter Model ARIMA Jumlah Penumpang KRD Bojonegoro

| Model ARIMA | Parameter | Estimasi | S.E | t-value | p-value |
|-------------------------|-------------|----------|---------|---------|---------|
| $(1,1,1)(0,1,1)^7$ | θ_1 | 0.87814 | 0.4543 | 19.33 | <0.0001 |
| | Θ_7 | 0.86284 | 0.03505 | 24.62 | <0.0001 |
| | ϕ_1 | 0.47136 | 0.8354 | 5.64 | <0.0001 |
| $([3,20],1,1)(0,1,1)^7$ | θ_1 | 0.48327 | 0.05905 | 8.18 | <0.0001 |
| | Θ_7 | 0.85476 | 0.03617 | 23.63 | <0.0001 |
| | ϕ_3 | -0.13509 | 0.0652 | -2.03 | 0.0434 |
| | ϕ_{20} | 0.15495 | 0.06881 | 2.25 | 0.0253 |

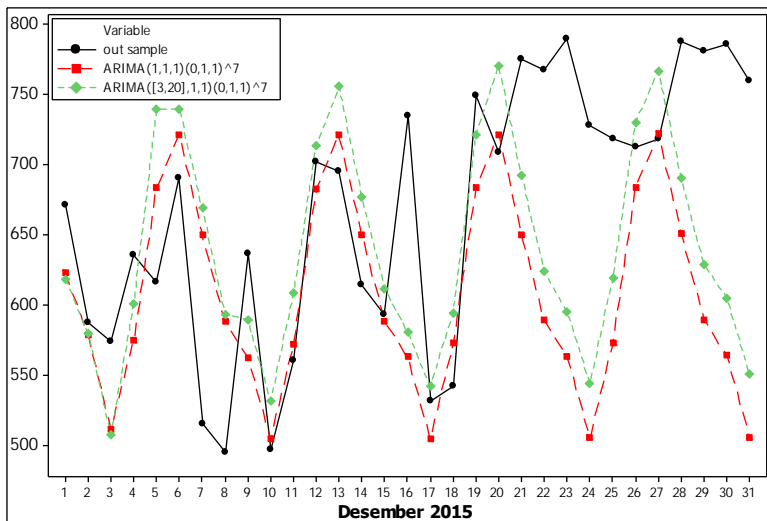
Berdasarkan Tabel 4.2 diperoleh dua model ARIMA yang mempunyai parameter signifikan yaitu ARIMA (1,1,1)(0,1,1)⁷ dan ([3,20],1,1)(0,1,1)⁷. Setelah mendapatkan model ARIMA dengan parameter yang signifikan, langkah selanjutnya adalah melakukan pengujian asumsi *white noise* dan normalitas residual yang akan ditunjukkan pada Tabel 4.3 sebagai berikut.

Tabel 4.3 Pemeriksaan Diagnostik Residual Data Harian Jumlah Penumpang KRD Bojonegoro

| Model ARIMA | Residual White Noise | | Normalitas | |
|----------------------------------|----------------------|---------|------------|---------|
| | Lag | p-value | KS | p-value |
| (1,1,1)(0,1,1) ⁷ | 6 | 0.1290 | | |
| | 12 | 0.1581 | | |
| | 18 | 0.3686 | | |
| | 24 | 0.1980 | 0.049809 | >0.1500 |
| | 30 | 0.3374 | | |
| | 36 | 0.2376 | | |
| | 42 | 0.3997 | | |
| ([3,20],1,1)(0,1,1) ⁷ | 6 | 0.0571 | | |
| | 12 | 0.0690 | | |
| | 18 | 0.2195 | | |
| | 24 | 0.1706 | 0.05147 | 0.1295 |
| | 30 | 0.2407 | | |
| | 36 | 0.2497 | | |
| | 42 | 0.4041 | | |

Tabel 4.3 menunjukkan bahwa model ARIMA (1,1,1)(0,1,1)⁷ dan ([3,20],1,1)(0,1,1)⁷ memenuhi asumsi *white noise* dan residual berdistribusi normal. Untuk asumsi *white noise*, dapat dilihat dari nilai p-value pada masing-masing lag yang terdapat dalam model, sedangkan untuk residual berdistribusi normal dapat dilihat dari nilai p-value atau nilai KS pada masing-masing model. Semua nilai p-value tersebut lebih besar dari nilai $\alpha = 0.05$, sehingga diperoleh keputusan gagal tolak H_0 dan kesimpulannya adalah model ARIMA yang diduga telah memenuhi asumsi *white noise* dan residual berdistribusi normal. Sehingga dari kedua model yang diduga ter-

sebut diputuskan untuk dilakukan pemilihan model terbaik secara visual dengan melihat *time series plot* dari data *Out Sample* dengan estimasi data *Out Sample* yang diperoleh dari model ARIMA $(1,1,1)(0,1,1)^7$ dan ARIMA $([3,20],1,1)(0,1,1)^7$. Dari plot tersebut kemudian akan dipilih salah satu model dengan hasil estimasi mendekati data *Out Sample* yang sebenarnya. *Time series plot* perbandingan antara data *Out sample* dengan estimasi dari kedua model tersebut ditunjukkan pada gambar 4.7 sebagai berikut.



Gambar 4.7 Plot Data *Out Sample* dengan Data Estimasi dari Model ARIMA $(1,1,1)(0,1,1)^7$ dan ARIMA $([3,20],1,1)(0,1,1)^7$

Berdasarkan Gambar 4.7 dapat dilihat bahwa hasil estimasi data *Out Sample* dari model ARIMA $([3,20],1,1)(0,1,1)^7$ hampir mendekati data *Out Sample* yang sebenarnya jika dibandingkan dengan hasil estimasi dari model ARIMA $(1,1,1)(0,1,1)^7$. Hal tersebut disebabkan karena terdapat lebih banyak plot estimasi data dari model ARIMA $([3,20],1,1)(0,1,1)^7$ yang mendekati plot data *Out Sample* yaitu sebanyak 17 plot data, sedangkan plot estimasi data dari model ARIMA $(1,1,1)(0,1,1)^7$ yang mendekati data *Out*

Sample hanya 14 plot data. Sehingga dapat dikatakan bahwa model ARIMA $([3,20],1,1)(0,1,1)^7$ sesuai digunakan untuk meramalkan Jumlah KRD Bojonegoro untuk periode satu bulan kedepan, akan tetapi terdapat selisih yang cukup besar antara plot data *Out Sampel* dengan plot data estimasi dari kedua model tersebut, yaitu antara tanggal 21-25 Desember 2015 dan tanggal 28-31 Desember 2015. Hal tersebut dikarenakan pada tanggal 24 dan 25 Desember merupakan hari libur nasional yaitu hari maulid Nabi Muhammad SAW dan hari raya Natal, sedangkan tanggal 31 Desember merupakan liburan akhir tahun. Berdasarkan beberapa kejadian tersebut mempengaruhi jumlah penumpang KRD Bojonegoro rute Bojonegoro-Surabaya, sehingga menimbulkan perubahan pola yang terjadi dari plot data *In Sample* dengan plot data *Out Sample*, hal tersebut disebabkan karena terdapat hari libur nasional diantaranya pada tanggal 24 Desember 2015 yang tidak terjadi pada tahun lalu. Untuk mengetahui kebenaran pemilihan model terbaik secara visual tersebut maka perlu dilakukan pemilihan model terbaik dengan membandingkan nilai kebaikan pada masing-masing model yaitu ARIMA $(1,1,1)(0,1,1)^7$ dan ARIMA $([3,20],1,1)(0,1,1)^7$ dari data *In Sample*, selain itu dibandingkan juga dengan nilai kebaikan dari masing-masing model yang dite-rapkan pada data *Out Sample*. Kemudian dipilih nilai kebaikan yang terkecil dari perbandingan masing-masing model yang diduga pada data *In Sample* dan *Out Sample*. Model dengan nilai kebaikan terkecil merupakan model terbaik yang digunakan untuk meramalkan jumlah penumpang KRD Bojonegoro rute Bojonegoro-Surabaya untuk periode satu bulan kedepan. Perbandingan nilai kebaikan pada masing-masing model dari data *In Sample* dan *Out Sample* ditunjukkan pada Tabel 4.4 sebagai berikut.

Tabel 4.4 Perbandingan Kebaikan Model Jumlah Penumpang KRD Bojonegoro

| Model | <i>In Sample</i> | | <i>Out Sample</i> | |
|-------------------------|------------------|-----------------|-------------------|-----------------|
| | AIC | SBC | RMSE | MAPE(%) |
| $(1,1,1)(0,1,1)^7$ | 2707.93 | 2718.322 | 116.9876 | 12.54819 |
| $([3,20],1,1)(0,1,1)^7$ | 2710.98 | 2724.837 | 102.3329 | 12.23581 |

Dapat diketahui nilai kebaikan terkecil pada kriteria *In Sample* terdapat pada model ARIMA (1,1,1)(0,1,1)⁷, sedangkan nilai kebaikan terkecil pada kriteria *Out Sample* terdapat pada model ARIMA ([3,20],1,1)(0,1,1)⁷. Sehingga dapat diputuskan bahwa model ARIMA ([3,20],1,1)(0,1,1)⁷ merupakan model terbaik yang terpilih untuk meramalkan jumlah penumpang KRD Bojonegoro rute Bojonegoro-Surabaya untuk periode satu bulan kedepan yaitu bulan Januari 2016. Berikut adalah persamaan model yang terpilih.

$$\begin{aligned}
 & \phi_p(B)(1-B)^d(1-B^s)^D Z_t = \theta_q(B)\Theta_Q(B^s) a_t \\
 & (1-\phi_3 B^3 - \phi_{20} B^{20})(1-B)(1-B^7)Z_t = (1-\theta_1 B^1)(1-\Theta_1 B^7) a_t \\
 & Z_t - Z_{t-7} - Z_{t-1} + Z_{t-8} - \phi_3 Z_{t-3} + \phi_3 Z_{t-10} + \phi_3 Z_{t-4} - \phi_3 Z_{t-11} - \phi_{20} Z_{t-20} + \\
 & \phi_{20} Z_{t-27} + \phi_{20} Z_{t-21} - \phi_{20} Z_{t-28} = a_t - \theta_1 a_{t-1} - \Theta_1 a_{t-7} + \theta_1 \Theta_1 a_{t-8} \\
 & Z_t = Z_{t-7} + Z_{t-1} - Z_{t-8} + \phi_3 Z_{t-3} - \phi_3 Z_{t-10} - \phi_3 Z_{t-4} + \phi_3 Z_{t-11} + \phi_{20} Z_{t-20} - \\
 & \phi_{20} Z_{t-27} - \phi_{20} Z_{t-21} + \phi_{20} Z_{t-28} - \theta_1 a_{t-1} - \Theta_1 a_{t-7} + \theta_1 \Theta_1 a_{t-8} + a_t \\
 & Z_t = Z_{t-7} + Z_{t-1} - Z_{t-8} + 0.13509 Z_{t-3} - 0.13509 Z_{t-10} - 0.13509 Z_{t-4} + \\
 & 0.13509 Z_{t-11} + 0.15495 Z_{t-20} - 0.15495 Z_{t-27} - 0.15495 Z_{t-21} + \\
 & 0.15495 Z_{t-28} - 0.48327 a_{t-1} - 0.85476 a_{t-7} + (0.48327)(0.85476) a_{t-8} \\
 & + a_t \\
 & Z_t = Z_{t-1} + 0.13509 Z_{t-3} - 0.13509 Z_{t-4} + Z_{t-7} - Z_{t-8} - 0.13509 Z_{t-10} + \\
 & 0.13509 Z_{t-11} + 0.15495 Z_{t-20} - 0.15495 Z_{t-21} - 0.15495 Z_{t-27} + \\
 & 0.15495 Z_{t-28} - 0.48327 a_{t-1} - 0.85476 a_{t-7} + 0.41308 a_{t-8} + a_t
 \end{aligned}$$

Persamaan dari model terbaik yang telah terpilih tersebut yaitu model ARIMA ([3,20],1,1)(0,1,1)⁷ dapat diartikan bahwa jumlah penumpang KRD Bojonegoro dipengaruhi oleh data tiga, empat, sepuluh, sebelas, dua puluh, 21, 27 dan 28 hari sebelumnya dan kesalahan satu, tujuh, delapan hari yang lalu. Setelah mendapatkan model terbaik, langkah selanjutnya yaitu melakukan peramalan jumlah penumpang KRD Bojonegoro dengan rute Bojonegoro-Surabaya menggunakan model terbaik untuk satu bulan kedepan.

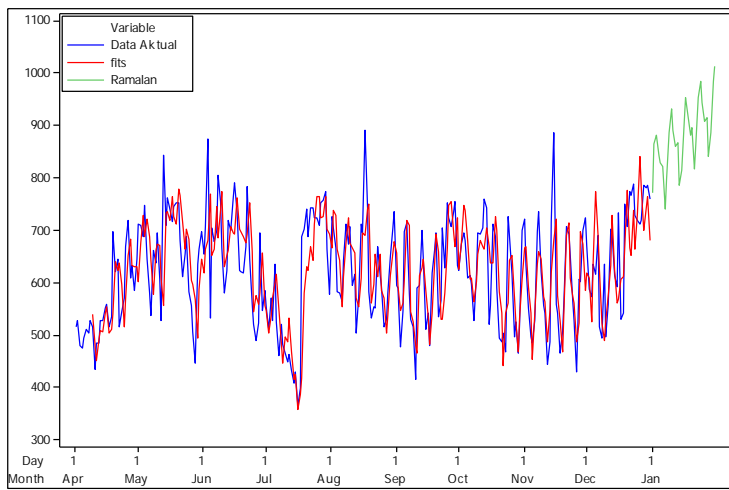
4.2 Peramalan Jumlah Penumpang KRD Bojonegoro dengan Rute Bojonegoro-Surabaya

Hasil peramalan jumlah penumpang KRD Bojonegoro dengan rute Bojonegoro-Surabaya dengan menggunakan model terbaik yaitu ARIMA $([3,20],1,1)(0,1,1)^7$ untuk satu bulan kedepan yaitu bulan Januari 2016 disajikan pada Tabel 4.5 sebagai berikut.

Tabel 4.5 Peramalan Jumlah Penumpang KRD Bojonegoro

| Tanggal | Hari | Ramalan |
|---------|--------|---------|
| 1 | Jum'at | 772 |
| 2 | Sabtu | 864 |
| 3 | Minggu | 881 |
| 4 | Senin | 843 |
| 5 | Selasa | 829 |
| 6 | Rabu | 821 |
| 7 | Kamis | 741 |
| 8 | Jum'at | 799 |
| 9 | Sabtu | 887 |
| 10 | Minggu | 932 |
| 11 | Senin | 890 |
| 12 | Selasa | 859 |
| 13 | Rabu | 868 |
| 14 | Kamis | 786 |
| 15 | Jum'at | 815 |
| 16 | Sabtu | 908 |
| 17 | Minggu | 954 |
| 18 | Senin | 916 |
| 19 | Selasa | 882 |
| 20 | Rabu | 896 |
| 21 | Kamis | 816 |
| 22 | Jum'at | 860 |
| 23 | Sabtu | 954 |
| 24 | Minggu | 984 |
| 25 | Senin | 943 |
| 26 | Selasa | 907 |
| 27 | Rabu | 915 |
| 28 | Kamis | 842 |
| 29 | Jum'at | 886 |
| 30 | Sabtu | 984 |
| 31 | Minggu | 1013 |

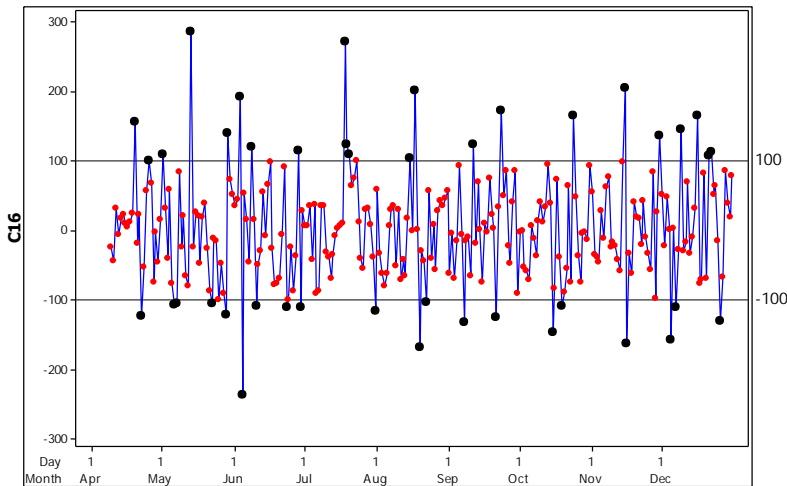
Tabel 4.5 menunjukkan hasil ramalan jumlah penumpang KRD Bojonegoro rute Bojonegoro-Surabaya untuk satu bulan ke-depan yaitu bulan Januari 2016. Penumpang terbanyak terdapat pada hari Minggu tanggal 31 Januari 2016 yaitu sebanyak 1013 penumpang dan paling sedikit terdapat pada hari Kamis tanggal 7 Januari 2016, sebanyak 741 penumpang. Setelah mendapatkan nilai ramalan tersebut, kemudian akan dilakukan perbandingan antara data aktual, fits dan data ramalan yang ditunjukkan pada Gambar 4.8 sebagai berikut.



Gambar 4.8 Plot Data Aktual, Fits dan Data Ramalan

Dapat ditunjukkan pada Gambar 4.8 bahwa sebagian besar data fits yang diperoleh dari model terbaik yaitu model ARIMA $([3,20],1,1)(0,1,1)^7$ hampir mendekati data aktual, sehingga dapat dikatakan bahwa model ARIMA $([3,20],1,1)(0,1,1)^7$ sudah baik digunakan untuk meramalkan jumlah penumpang KRD Bojonegoro pada periode satu bulan kedepan. Untuk mengetahui lebih jelas dan tepat dari kesimpulan yang diperoleh yaitu sebagian besar data fits dari model ARIMA $([3,20],1,1)(0,1,1)^7$ hampir mendekati data aktual, maka perlu dilakukan pemeriksaan lebih lanjut dengan melihat plot residual atau selisih antara data aktual dengan fits. Plot resi-

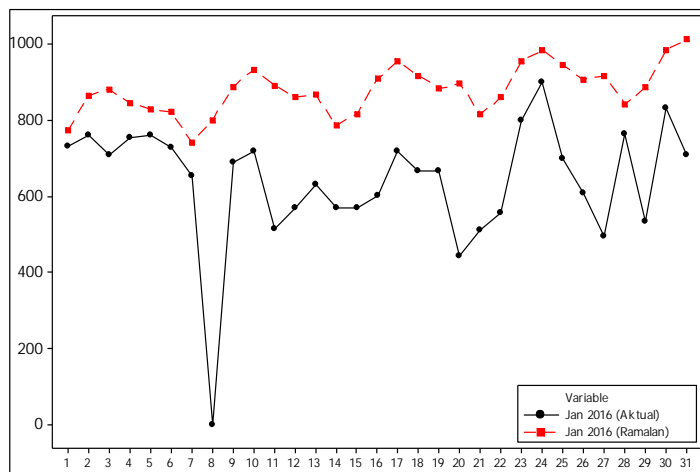
dual tersebut ditunjukkan pada Gambar 4.9 sebagai berikut.



Gambar 4.9 Plot Residual antara Data Aktual dan Fits

Berdasarkan Gambar 4.9 dapat dilihat bahwa terdapat 42 plot dari 275 plot residual yang melebihi angka 100, dapat dijelaskan bahwa terdapat 42 hari dimana selisih antara data fits dan aktual memiliki jumlah lebih dari 100 penumpang. Residual yang memiliki nilai melebihi angka 100 diantaranya terdapat pada hari Sabtu, 18 Juli 2015. Hari tersebut merupakan hari libur nasional yaitu pelaksanaan hari raya Idul Fitri dimana pada tahun lalu tidak terdapat pelaksanaan hari raya Idul Fitri di hari dan tanggal yang sama, sehingga mempengaruhi jumlah penumpang KRD Bojonegoro yaitu terjadi lonjakan jumlah penumpang yang tinggi. Kejadian tersebut merupakan penyebab tingginya nilai residual antara data fits dengan aktual, sehingga dapat dikatakan bahwa model ARIMA ($[3,20], 1, 1)(0, 1, 1)$ ⁷ cukup baik digunakan untuk meramalkan jumlah penumpang KRD Bojonegoro jika dilihat dari banyaknya plot residual yang memiliki nilai tinggi. Setelah melakukan perbandingan antara data fits dan aktual, perlu juga melakukan perbandingan antara data ramalan jumlah penumpang KRD Bojonegoro bu-

lan Januari 2016 dengan data aktualnya. Hal tersebut dilakukan sebagai validasi untuk mengetahui secara pasti bahwa model terbaik yang telah terpilih tersebut memang sudah baik, cukup baik atau bahkan belum baik untuk meramalkan jumlah penumpang KRD Bojonegoro pada periode mendatang. Berikut adalah plot perbandingan antara data ramalan dan aktual bulan januari 2016.



Gambar 4.10 Plot Data Ramalan dan Aktual Bulan Januari 2016

Dapat dilihat bahwa pada Gambar 4.10 menunjukkan perbedaan yang sangat besar antara data ramalan dan aktual, terutama pada tanggal 8 Januari 2016, dimana pada tanggal tersebut tidak ada penumpang. Kejadian tersebut disebabkan karena rusaknya sarana yang ada sehingga kereta batal beroperasi. Dari Gambar 4.10 dapat dikatakan jika hasil prediksi atau ramalan berbeda jauh dengan aktualnya, sehingga dapat ditarik kesimpulan bahwa model ARIMA $([3,20],1,1)(0,1,1)^7$ belum baik digunakan untuk meramalkan jumlah penumpang KRD Bojonegoro untuk periode mendatang.

(Halaman ini sengaja dikosongkan)

LAMPIRAN

Lampiran 1. Surat Keterangan dari PT. KAI (Persero) DAOP IV Semarang

SURAT KETERANGAN

Saya yang bertanda tangan di bawah ini menerangkan bahwa:

1. Mahasiswa Statistika FMIPA-ITS dengan identitas berikut:

Nama : Erisandy Purwaditya Putri
NRP : 1313 030 097

Telah mengambil data di instansi/perusahaan kami:

Nama Instansi : PT. KAI (Persero) DAOP IV Semarang
Divisi/bagian : Pemasaran Angkutan Penumpang

sejak tanggal 1 Maret sampai dengan 21 Maret 2016 untuk keperluan Tugas Akhir Semester Genap 2015/2016.

2. Tidak Keberatan nama perusahaan dicantumkan dalam Tugas Akhir mahasiswa Statistika yang akan di simpan di Perpustakaan ITS dan dibaca di lingkungan ITS.
3. Tidak Keberatan bahwa hasil analisis data dari perusahaan dipublikasikan dalam E.jurnal ITS yaitu Jurnal Sains dan Seni ITS.



Lampiran 2. Data Jumlah Penumpang KRD Bojonegoro Rute Bojonegoro-Surabaya

| Tgl | April | Mei | Jun | Jul | Aug | Sep | Okt | Nov | Des |
|-----|-------|-----|-----|-----|-----|-----|-----|-----|-----|
| 1 | 516 | 711 | 655 | 554 | 726 | 595 | 624 | 722 | 671 |
| 2 | 528 | 709 | 708 | 512 | 704 | 591 | 673 | 635 | 587 |
| 3 | 480 | 687 | 875 | 572 | 667 | 479 | 696 | 553 | 574 |
| 4 | 475 | 747 | 532 | 529 | 583 | 546 | 682 | 498 | 635 |
| 5 | 494 | 645 | 705 | 636 | 580 | 698 | 610 | 484 | 616 |
| 6 | 511 | 580 | 679 | 525 | 563 | 714 | 614 | 529 | 690 |
| 7 | 505 | 538 | 701 | 462 | 642 | 579 | 598 | 697 | 515 |
| 8 | 528 | 662 | 806 | 522 | 711 | 530 | 527 | 737 | 495 |
| 9 | 516 | 639 | 755 | 483 | 674 | 516 | 617 | 622 | 636 |
| 10 | 436 | 695 | 666 | 466 | 707 | 416 | 695 | 556 | 497 |
| 11 | 485 | 606 | 581 | 449 | 595 | 591 | 693 | 542 | 560 |
| 12 | 486 | 529 | 623 | 464 | 616 | 595 | 704 | 445 | 702 |
| 13 | 528 | 843 | 718 | 433 | 504 | 699 | 759 | 488 | 695 |
| 14 | 529 | 710 | 699 | 409 | 573 | 647 | 743 | 717 | 614 |
| 15 | 553 | 762 | 761 | 429 | 712 | 511 | 522 | 887 | 593 |
| 16 | 559 | 741 | 791 | 365 | 696 | 542 | 556 | 558 | 734 |
| 17 | 515 | 717 | 736 | 398 | 892 | 481 | 712 | 542 | 531 |
| 18 | 536 | 746 | 624 | 689 | 742 | 618 | 689 | 467 | 542 |
| 19 | 698 | 753 | 621 | 703 | 582 | 663 | 590 | 509 | 749 |
| 20 | 621 | 753 | 618 | 740 | 533 | 696 | 494 | 566 | 708 |
| 21 | 645 | 680 | 670 | 687 | 555 | 536 | 488 | 708 | 775 |
| 22 | 515 | 612 | 784 | 744 | 551 | 566 | 505 | 694 | 767 |
| 23 | 544 | 654 | 644 | 743 | 668 | 704 | 469 | 652 | 789 |
| 24 | 572 | 688 | 560 | 725 | 614 | 629 | 727 | 563 | 728 |
| 25 | 669 | 584 | 522 | 724 | 593 | 752 | 690 | 528 | 718 |
| 26 | 720 | 556 | 489 | 709 | 516 | 725 | 616 | 431 | 712 |
| 27 | 610 | 506 | 523 | 753 | 531 | 707 | 497 | 608 | 718 |
| 28 | 632 | 447 | 695 | 758 | 580 | 735 | 525 | 601 | 787 |
| 29 | 586 | 635 | 548 | 774 | 650 | 756 | 466 | 701 | 781 |
| 30 | 646 | 663 | 585 | 665 | 704 | 633 | 520 | 724 | 785 |
| 31 | | 697 | | 578 | 735 | | 699 | | 759 |

Lampiran 3. Syntax SAS untuk Pengujian *Augmented Dickey Fuller* data *In Sample*

```
data penumpang;
input y;
datalines;
516
528
480
475
.
.
.
.
.
.
694
652
563
;
data penumpang;
set penumpang;
y1=lag1(y);
yd=y-y1;
run;
proc reg data=penumpang;
model yd=y1/noint;
run;
```

Lampiran 4. Syntax SAS untuk Pengujian *Augmented Dickey Fuller* data *In Sample* dengan *Differencing 1*

```
data penumpang;
input y;
datalines;
*
12
-48
-5
.
.
.
.
.
.
177
-7
100
23
;
data penumpang;
set penumpang;
y1=lag1(y);
yd=y-y1;
run;
proc reg data=penumpang;
model yd=y1/noint;
run;
```

Lampiran 5. Syntax SAS untuk Pengujian *Augmented Dickey Fuller* data *In Sample* dengan *Differencing* 1 dan 7

```
data penumpang;
input y;
datalines;
*
*
*
*
*
*
*
*
*
*
*
*
-
-24
-32
54
.
.
.

120
;
data penumpang;
set penumpang;
y1=lag1(y);
yd=y-y1;
run;
proc reg data=penumpang;
model yd=y1/noint;
run;
```

Lampiran 6. Syntax SAS untuk Model ARIMA (1,1,1)(0,1,1)⁷

```
data penumpang;
input y;
datalines;
516
528
480
.
.
.
.
.
.
601
701
724
;
proc arima data=penumpang;
identify var=y(1,7);
run;
estimate
p=(1) q=(1)(7) noconstant method=cls;
forecast out=ramalan lead=31;
run;
outlier maxnum=5 alpha=0.01;
proc print data=ramalan;
run;
proc univariate data=ramalan normal;
var residual;
run;
```

Lampiran 7. Syntax SAS untuk Model ARIMA
([3,20],1,1)(0,1,1)⁷.

```
data penumpang;
input y;
datalines;
516
528
480
.
.
.
.
.
.
601
701
724
;
proc arima data=penumpang;
identify var=y(1,7);
run;
estimate
p=(3,20) q=(1)(7) noconstant method=cls;
forecast out=ramalan lead=31;
run;
outlier maxnum=5 alpha=0.01;
proc print data=ramalan;
run;
proc univariate data=ramalan normal;
var residual;
run;
```

Lampiran 8. Syntax SAS untuk Peramalan Menggunakan Model ARIMA ([3,20],1,1)(0,1,1)⁷.

```
data penumpang;
input y;
datalines;
516
528
480
.
.
.
.
781
785
759
;
proc arima data=penumpang;
identify var=y(1,7);
run;
estimate
p=(3,20) q=(1)(7) noconstant method=cls;
forecast out=ramalan lead=31;
run;
proc print data=ramalan;
run;
proc univariate data=ramalan normal;
var residual;
run;
```

Lampiran 9. Output Pengujian *Augmented Dickey Fuller Data In Sample*

```
The SAS System      03:51 Sunday, May 2, 2016   1

The REG Procedure
Model: MODEL1
Dependent Variable: yd
NOTE: No intercept in model. R-Square is redefined.

Analysis of Variance
          Sum of      Mean
Source        DF Squares     Square    F Value Pr > F
Model           1 7536.11041 7536.11041 0.94    0.3331
Error         242 1938774   8011.46235
Uncorrected Total 243 1946310

Root MSE       89.50677   R-Square      0.0039
Dependent Mean 0.85597   Adj R-Sq      -0.0002
Coeff Var     10457

Parameter Estimates

Parameter      Standard

Variable DF Estimate  Error t Value Pr > |t|
y1         1 -0.00893 0.00920 -0.97  0.3331
```

Lampiran 10. Output Pengujian *Augmented Dickey Fuller Data In Sample dengan Differencing 1*

```
The SAS System      00:59 Thursday, May 13, 2016      1

The REG Procedure
Model: MODEL1
Dependent Variable: yd
NOTE: No intercept in model. R-Square is redefined.

Analysis of Variance
          Sum of      Mean
Source        DF Squares Square      F Value Pr > F
Model           1 2491138 2491138    313.91  <.0001
Error         241 1912523 7935.77818
Uncorrected Total 242 4403661

Root MSE      89.08298   R-Square     0.5657
Dependent Mean 0.04545   Adj R-Sq     0.5639
Coeff Var    195983

Parameter Estimates
Parameter      Standard
Variable DF Estimate Error t Value Pr > |t|
y1       1 -1.13149  0.06386 -17.72  <.0001
```

Lampiran 11. Output Pengujian *Augmented Dickey Fuller Data In Sample* dengan *Differencing 1 dan 7*

```
The SAS System    00:59 Thursday, May 13, 2016    2

The REG Procedure
Model: MODEL1
Dependent Variable: yd

NOTE: No intercept in model. R-Square is redefined.

Analysis of Variance

Sum of      Mean
Source      DF Squares Square   F Value Pr > F
Model        1 4234291 4234291 420.08  <.0001
Error       234 2358638 10080
Uncorrected Total 235 6592929

Root MSE          100.39745     R-Square       0.6422
Dependent Mean    0.37872     Adj R-Sq       0.6407
Coeff Var         26509

Parameter Estimates

Parameter           Standard
Variable DF Estimate Error   t Value Pr > |t|
y1      1 -1.28521  0.06271 -20.50  <.0001
```

Lampiran 12. Output untuk Model ARIMA (1,1,1)(0,1,1)⁷

```

The SAS System      22:05 Tuesday, May 11, 2016  15
The ARIMA Procedure
Conditional Least Squares Estimation
      Standard          Approx
Parameter Estimate Error   t Value Pr > |t|    Lag
MA1,1      0.87814  0.04543 19.33  <.0001    1
MA2,1      0.86284  0.03505 24.62  <.0001    7
AR1,1      0.47136  0.08354  5.64  <.0001    1
Variance Estimate      5562.337
Std Error Estimate     74.58108
AIC                  2707.93
SBC                  2718.322
Number of Residuals    236
* AIC and SBC do not include log determinant.
Correlations of Parameter Estimates
Parameter      MA1,1      MA2,1      AR1,1
MA1,1      1.000      -0.124      0.718
MA2,1      -0.124      1.000      -0.052
AR1,1      0.718      -0.052      1.000
Autocorrelation Check of Residuals
      To      Chi-      Pr >
Lag Square DF ChiSq  -----Autocorrelations-----
 6 5.67      3 0.1290 -0.024  0.043  0.007 -0.050  0.124  0.054
12 13.10      9 0.1581  0.049 -0.058 -0.096  0.006 -0.099 -0.072
18 16.20     15 0.3686  0.012  0.042  0.036 -0.063 -0.068 -0.020
24 26.23     21 0.1980  0.085  0.097 -0.055 -0.121 -0.057 -0.029
30 29.49     27 0.3374 -0.020 -0.027 -0.053 -0.058  0.020  0.066
36 37.41     33 0.2736 -0.123  0.027 -0.053 -0.057 -0.074  0.039
42 40.60     39 0.3997 -0.036  0.033  0.007  0.035 -0.036 -0.078
Model for variable
Period(s) of Differencing    1,7
No mean term in this model.
Autoregressive Factors
Factor 1: 1 - 0.47136 B**(1)
Moving Average Factors
Factor 1: 1 - 0.87814 B***(1)
Factor 2: 1 - 0.86284 B***(7)
The SAS System      22:05 Tuesday, May 11, 2016  16
The ARIMA Procedure
Forecasts for variable y
Obs      Forecast    Std Error      95% Confidence Limits
245      622.9104   74.5811      476.7342    769.0866
246      578.4331   86.7170      408.4710    748.3952
247      511.4608   91.7412      331.6513    691.2702
248      574.9817   94.6300      389.5104    760.4530
249      683.6815   96.7257      494.1026    873.2604
250      721.1073   98.4843      528.0816    914.1329

```

Lampiran 12. Output untuk Model ARIMA (1,1,1)(0,1,1)⁷ (Lanjut)

| | | | | |
|--|----------|------------|------------------|------------|
| 251 | 649.2436 | 100.0839 | 453.0828 | 845.4045 |
| 252 | 587.9419 | 103.8515 | 384.3966 | 791.4871 |
| 253 | 562.2192 | 106.4554 | 353.5704 | 770.8679 |
| 254 | 504.0871 | 108.5783 | 291.2775 | 716.8967 |
| 255 | 571.7750 | 110.4793 | 355.2396 | 788.3104 |
| 256 | 682.4390 | 112.2668 | 462.4000 | 902.4779 |
| 257 | 720.7906 | 113.9893 | 497.3758 | 944.2054 |
| 258 | 649.3633 | 115.6689 | 422.6564 | 876.0703 |
| 259 | 588.2673 | 119.4517 | 354.1463 | 822.3883 |
| 260 | 562.6415 | 122.1724 | 323.1881 | 802.0950 |
| 261 | 504.5552 | 124.4437 | 260.6500 | 748.4604 |
| 262 | 572.2646 | 126.5040 | 324.3214 | 820.2078 |
| 263 | 682.9388 | 128.4544 | 431.1728 | 934.7047 |
| 264 | 721.2952 | 130.3405 | 465.8325 | 976.7579 |
| 265 | 649.8702 | 132.1835 | 390.7953 | 908.9450 |
| 266 | 588.7752 | 136.0441 | 322.1336 | 855.4168 |
| 267 | 563.1499 | 138.8951 | 290.9206 | 835.3792 |
| 268 | 505.0638 | 141.3123 | 228.0969 | 782.0308 |
| 269 | 572.7734 | 143.5234 | 291.4727 | 854.0740 |
| 270 | 683.4475 | 145.6262 | 398.0255 | 968.8696 |
| 271 | 721.8040 | 147.6647 | 432.3866 | 1011.2214 |
| 272 | 650.3790 | 149.6595 | 357.0517 | 943.7063 |
| 273 | 589.2840 | 153.5931 | 288.2470 | 890.3210 |
| 274 | 563.6588 | 156.5640 | 256.7990 | 870.5186 |
| 275 | 505.5727 | 159.1160 | 193.7110 | 817.4344 |
| The SAS System 22:05 Tuesday, May 11, 2016 17 | | | | |
| The ARIMA Procedure | | | | |
| Outlier Detection Summary | | | | |
| Maximum number searched | | | | 5 |
| Number found | | | | 5 |
| Significance used | | | | 0.01 |
| Outlier Details | | | | |
| Approx | | | | |
| Obs | Type | Estimate | Chi-Square | Prob> |
| 109 | Shift | 251.03650 | 22.32 | <.0001 |
| 64 | Additive | 233.25884 | 17.26 | <.0001 |
| 43 | Additive | 218.01845 | 14.16 | 0.0002 |
| 229 | Additive | 215.84022 | 14.08 | 0.0002 |
| 139 | Additive | 179.41796 | 10.13 | 0.0015 |
| The SAS System 22:05 Tuesday, May 11, 2016 23 | | | | |
| The UNIVARIATE Procedure | | | | |
| Variable: RESIDUAL (Residual: Actual-Forecast) | | | | |
| Moments | | | | |
| N | | 236 | Sum Weights | 236 |
| Mean | | -1.5399318 | Sum Observations | -363.4239 |
| Std Deviation | | 74.2469954 | Variance | 5512.61633 |

Lampiran 12. Output untuk Model ARIMA (1,1,1)(0,1,1)⁷ (Lanjut).

| | | | |
|-----------------------------------|----------------|--------------------|--------------|
| Skewness | 0.45778474 | Kurtosis | 1.12045761 |
| Uncorrected SS | 1296024.49 | Corrected SS | 1295464.84 |
| Coeff Variation | -4821.4471 | Std Error Mean | 4.83306774 |
| Basic Statistical Measures | | | |
| Location | | Variability | |
| Mean | -1.53993 | Std Deviation | 74.24700 |
| Median | -9.53957 | Variance | 5513 |
| Mode | . | Range | 504.20538 |
| Interquartile Range | 93.99061 | | |
| Tests for Location: Mu0=0 | | | |
| Test | -Statistic- | ----- | p Value----- |
| Student's t | t -0.31862 | Pr > t | 0.7503 |
| Sign | M -10 | Pr >= M | 0.2161 |
| Signed Rank | S -920 | Pr >= S | 0.3820 |
| Tests for Normality | | | |
| Test | --Statistic--- | ----- | p Value----- |
| Shapiro-Wilk | W 0.984145 | Pr < W | 0.0098 |
| Kolmogorov-Smirnov | D 0.049809 | Pr > D | >0.1500 |
| Cramer-von Mises | W-Sq 0.102365 | Pr > W-Sq | 0.1055 |
| Anderson-Darling | A-Sq 0.661201 | Pr > A-Sq | 0.0866 |
| Quantiles (Definition 5) | | | |
| Quantile | Estimate | | |
| 100% Max | 273.15634 | | |
| 99% | 204.72021 | | |
| 95% | 118.11255 | | |
| 90% | 96.25991 | | |
| 75% Q3 | 44.30156 | | |
| 50% Median | -9.53957 | | |
| 25% Q1 | -49.68905 | | |
| 10% | -90.37992 | | |
| 5% | -116.99073 | | |
| 1% | -149.27330 | | |
| 0% Min | -231.04904 | | |

Lampiran 13. Output untuk Model ARIMA ([3,20],1,1)(0,1,1)⁷.

```

The ARIMA Procedure
Conditional Least Squares Estimation
      Standard          Approx
Parameter Estimate Error   t Value Pr > |t| Lag
MA1,1      0.48327  0.05905  8.18    <.0001   1
MA2,1      0.85476  0.03617 23.63    <.0001   7
AR1,1     -0.13509  0.06652 -2.03    0.0434   3
AR1,2      0.15495  0.06881  2.25    0.0253   20
Variance Estimate      5611.249
Std Error Estimate      74.90827
AIC                  2710.981
SBC                  2724.837
Number of Residuals      236
* AIC and SBC do not include log determinant.
Correlations of Parameter Estimates
Parameter      MA1,1      MA2,1      AR1,1      AR1,2
MA1,1      1.000     -0.011      0.162     0.132
MA2,1     -0.011      1.000     -0.132     0.042
AR1,1      0.162     -0.132      1.000     0.100
AR1,2      0.132      0.042     0.100      1.000
Autocorrelation Check of Residuals
To Chi-      Pr >
Lag Square DF ChiSq-----Autocorrelations---
6   5.73   2  0.0571  0.040 -0.064  0.009 -0.121  0.054  0.018
12  4.53   8  0.0690  0.009 -0.075 -0.122 -0.030 -0.086 -0.081
18 17.73  14  0.2195  0.028  0.071  0.053 -0.031 -0.053  0.011
24 25.86  20  0.1706  0.112 -0.004 -0.052 -0.109 -0.062 -0.002
30 30.67  26  0.2407 -0.033 -0.019 -0.027 -0.036  0.089  0.080
36 36.98  32  0.2497 -0.094  0.051 -0.029 -0.071 -0.066  0.035
42 39.47  38  0.4041 -0.019  0.027  0.013  0.028 -0.048 -0.065
Model for variable y
Period(s) of Differencing      1,7
No mean term in this model.
Autoregressive Factors
Factor 1: 1 + 0.13509 B**^(3) - 0.15495 B**^(20)
Moving Average Factors
Factor 1: 1 - 0.48327 B**^(1)
Factor 2: 1 - 0.85476 B**^(7)
The SAS System   22:05 Tuesday, May 11, 2016  28
The ARIMA Procedure
Forecasts for variable y
Obs      Forecast    Std Error      95% Confidence Limits
245     618.4107   74.9083    471.5932    765.2282
246     579.6277   84.3177    414.3680    744.8874
247     506.7620   92.7777    324.9210    688.6031
248     600.7886   97.0822    410.5110    791.0662
249     739.5413   102.6924    538.2680    940.8147
250     739.1033   108.0116    527.4045    950.8021
251     668.9221   113.4931    446.4798    891.3645

```

Lampiran 13. Output untuk Model ARIMA ([3,20],1,1)(0,1,1)⁷
 (Lanjutan).

| | | | | |
|--|----------|------------|------------------|------------|
| 252 | 593.1583 | 122.1124 | 353.8224 | 832.4942 |
| 253 | 589.4824 | 128.4366 | 337.7513 | 841.2135 |
| 254 | 531.3741 | 134.4092 | 267.9370 | 794.8112 |
| 255 | 607.8905 | 139.7433 | 333.9987 | 881.7823 |
| 256 | 713.3889 | 145.0703 | 429.0564 | 997.7215 |
| 257 | 755.4291 | 150.2149 | 461.0132 | 1049.8450 |
| 258 | 676.3018 | 155.2361 | 372.0447 | 980.5590 |
| 259 | 611.2286 | 163.0732 | 291.6109 | 930.8462 |
| 260 | 580.2755 | 169.0847 | 248.8756 | 911.6755 |
| 261 | 541.9703 | 174.8832 | 199.2055 | 884.7352 |
| 262 | 593.9543 | 180.1407 | 240.8851 | 947.0235 |
| 263 | 720.8025 | 185.4160 | 357.3938 | 1084.2111 |
| 264 | 770.2394 | 190.5461 | 396.7759 | 1143.7029 |
| 265 | 691.8557 | 198.5263 | 302.7513 | 1080.9601 |
| 266 | 623.3120 | 207.6558 | 216.3141 | 1030.3100 |
| 267 | 595.0995 | 214.9801 | 173.7462 | 1016.4527 |
| 268 | 543.8368 | 221.2917 | 110.1130 | 977.5605 |
| 269 | 618.8745 | 227.4418 | 173.0969 | 1064.6522 |
| 270 | 729.7892 | 233.5908 | 271.9597 | 1187.6187 |
| 271 | 766.5378 | 239.7248 | 296.6858 | 1236.3898 |
| 272 | 689.6612 | 246.0561 | 207.4001 | 1171.9224 |
| 273 | 628.7101 | 254.6062 | 129.6911 | 1127.7291 |
| 274 | 604.4983 | 261.5929 | 91.7856 | 1117.2110 |
| 275 | 550.3187 | 268.3026 | 24.4552 | 1076.1822 |
| The SAS System 22:05 Tuesday, May 11, 2016 29 | | | | |
| The ARIMA Procedure | | | | |
| Outlier Detection Summary | | | | |
| Maximum number searched | | 5 | | |
| Number found | | 5 | | |
| Significance used | | 0.01 | | |
| Outlier Details | | | | |
| Approx | | | | |
| Obs Type Estimate Chi-Square ChiSq | | | | |
| 109 | Shift | 248.23063 | 22.04 | <.0001 |
| 64 | Additive | 221.03446 | 17.24 | <.0001 |
| 43 | Shift | 224.34737 | 18.01 | <.0001 |
| 229 | Additive | 213.19479 | 15.07 | 0.0001 |
| 139 | Additive | 184.32525 | 11.94 | 0.0006 |
| The SAS System 22:05 Tuesday, May 11, 2016 35 | | | | |
| The UNIVARIATE Procedure | | | | |
| Variable: RESIDUAL (Residual: Actual-Forecast) | | | | |
| Moments | | | | |
| N | | 236 | Sum Weights | 236 |
| Mean | | -0.3769648 | Sum Observations | -88.963684 |
| Std Deviation | | 74.4276383 | Variance | 5539.47334 |
| Skewness | | 0.54062972 | Kurtosis | 1.47105319 |

Lampiran 13. Output untuk Model ARIMA ([3,20],1,1)(0,1,1)⁷
 (Lanjutan).

| | | | |
|----------------------------|---------------|-------------------|------------|
| Uncorrected SS | 1301809.77 | Corrected SS | 1301776.24 |
| Coeff Variation | -19743.924 | Std Error Mean | 4.84482659 |
| Basic Statistical Measures | | | |
| Location | Variability | | |
| Mean | -0.37696 | Std Deviation | 74.42764 |
| Median | -1.13043 | Variance | 5539 |
| Mode | . | Range | 526.45942 |
| Interquartile Range | 90.10712 | | |
| Tests for Location: Mu0=0 | | | |
| Test | -Statistic- | -----p Value----- | |
| Student's t | t -0.07781 | Pr > t 0.9380 | |
| Sign | M -3 | Pr >= M 0.7449 | |
| Signed Rank | S -695 | Pr >= S 0.5092 | |
| Tests for Normality | | | |
| Test | --Statistic-- | -----p Value----- | |
| Shapiro-Wilk | W 0.978589 | Pr < W 0.0012 | |
| Kolmogorov-Smirnov | D 0.05147 | Pr > D 0.1295 | |
| Cramer-von Mises | W-Sq 0.110271 | Pr > W-Sq 0.0852 | |
| Anderson-Darling | A-Sq 0.843592 | Pr > A-Sq 0.0305 | |
| Quantiles (Definition 5) | | | |
| Quantile | Estimate | | |
| 100% Max | 291.48810 | | |
| 99% | 202.29040 | | |
| 95% | 121.66724 | | |
| 90% | 89.43265 | | |
| 75% Q3 | 41.25750 | | |
| 50% Median | -1.13043 | | |
| 25% Q1 | -48.84962 | | |
| 10% | -88.27037 | | |
| 5% | -111.10014 | | |
| 1% | -161.70686 | | |
| 0% Min | -234.97132 | | |

Lampiran 14. Output Peramalan Menggunakan Model ARIMA
([3,20],1,1)(0,1,1)⁷.

```
The SAS System
10:36 Wednesday, May 26, 2016
The ARIMA Procedure
Conditional Least Squares Estimation
      Standard          Approx
Parameter Estimate   Error    t Value Pr > |t| Lag
MA1,1      0.49373  0.05510   8.96   <.0001     1
MA2,1      0.87185  0.03101  28.12   <.0001     7
AR1,1     -0.12692  0.06262  -2.03    0.0437     3
AR1,2      0.14111  0.06448   2.19    0.0295    20
Variance Estimate  5685.263
Std Error Estimate 75.40068
AIC            3070.067
SBC            3084.416
Number of Residuals 267
* AIC and SBC do not include log determinant.
Correlations of Parameter Estimates
Parameter MA1,1  MA2,1  AR1,1  AR1,2
MA1,1      1.000  -0.007  0.174  0.153
MA2,1      -0.007  1.000  -0.125  0.054
AR1,1      0.174  -0.125  1.000  0.141
AR1,2      0.153  0.054  0.141  1.000
Autocorrelation Check of Residuals
To Chi-        Pr >
Lag Square DF  ChiSq  -----Autocorrelations-----
6   9.33  2  0.0094  0.051 -0.076  0.014 -0.155  0.005  0.039
12  18.40  8  0.0184  0.049 -0.072 -0.079 -0.027 -0.130 -0.031
18  23.37 14  0.0546  0.048  0.037  0.065 -0.021 -0.095 -0.011
24  34.37 20  0.0237  0.157 -0.010 -0.028 -0.064 -0.090  0.008
30  37.49 26  0.0674 -0.019 -0.051 -0.030 -0.017  0.062  0.049
36  42.51 32  0.1013 -0.020  0.057 -0.062 -0.047 -0.081  0.013
42  48.36 38  0.1211 -0.013  0.050  0.039  0.033 -0.058 -0.099
48  58.06 44  0.0760  0.131  0.003  0.077  0.071 -0.031  0.030
Model for variable y
Period(s) of Differencing 1,7
No mean term in this model.
Autoregressive Factors
Factor 1: 1 + 0.12692 B**(3) - 0.14111 B**(20)
The SAS System
10:36 Wednesday, May 26, 2016
The ARIMA Procedure
Moving Average Factors
Factor 1: 1 - 0.49373 B**(1)
Factor 2: 1 - 0.87185 B**(7)
Forecasts for variable y
Obs      Forecast      Std Error      95% Confidence Limits
276      772.3777    75.4007      624.5951      920.1603
277      864.1359    84.5131      698.4932      1029.7786
```

Lampiran 14. Output Peramalan dengan Menggunakan Model ARIMA ([3,20],1,1)(0,1,1)⁷ (Lanjutan).

| | | | | | | |
|-------------------------------|-----------|----------|----------|-----------|---------|---------|
| 278 | 881.3091 | 92.7344 | 699.5530 | 1063.0653 | | |
| 279 | 843.4868 | 97.0456 | 653.2809 | 1033.6926 | | |
| 280 | 828.6379 | 102.6091 | 627.5276 | 1029.7481 | | |
| 281 | 821.1685 | 107.8862 | 609.7155 | 1032.6215 | | |
| 282 | 740.9659 | 113.2813 | 518.9387 | 962.9931 | | |
| 283 | 798.7492 | 121.3842 | 560.8405 | 1036.6579 | | |
| 284 | 887.1655 | 127.4453 | 637.3773 | 1136.9537 | | |
| 285 | 932.1016 | 133.1861 | 671.0616 | 1193.1415 | | |
| 286 | 890.4777 | 138.3731 | 619.2715 | 1161.6839 | | |
| 287 | 859.2614 | 143.5322 | 577.9435 | 1140.5793 | | |
| 288 | 868.3054 | 148.5172 | 577.2170 | 1159.3938 | | |
| 289 | 785.6221 | 153.3767 | 485.0093 | 1086.2348 | | |
| 290 | 815.4273 | 160.6787 | 500.5029 | 1130.3517 | | |
| 291 | 908.3797 | 166.3625 | 582.3151 | 1234.4442 | | |
| 292 | 953.9128 | 171.8539 | 617.0854 | 1290.7402 | | |
| 293 | 916.1221 | 176.8831 | 569.4375 | 1262.8066 | | |
| 294 | 881.7902 | 181.9138 | 525.2457 | 1238.3347 | | |
| 295 | 895.6971 | 186.8096 | 529.5570 | 1261.8371 | | |
| 296 | 815.8260 | 194.2594 | 435.0845 | 1196.5675 | | |
| 297 | 859.8208 | 202.6231 | 462.6869 | 1256.9547 | | |
| 298 | 953.7326 | 209.4004 | 543.3154 | 1364.1497 | | |
| 299 | 983.8356 | 215.3156 | 561.8248 | 1405.8464 | | |
| 300 | 942.9953 | 221.0991 | 509.6490 | 1376.3417 | | |
| 301 | 906.9233 | 226.8702 | 462.2659 | 1351.5806 | | |
| 302 | 915.1403 | 232.6115 | 459.2301 | 1371.0504 | | |
| 303 | 841.9221 | 238.4902 | 374.4898 | 1389.3543 | | |
| 304 | 885.6662 | 246.3017 | 402.9236 | 1368.4087 | | |
| 305 | 984.2176 | 252.7394 | 488.8575 | 1479.5778 | | |
| 306 | 1012.9398 | 258.9467 | 505.4136 | 1520.4661 | | |
| The SAS System | | | | | | |
| 10:36 Wednesday, May 26, 2016 | | | | | | |
| 1 | 516 | . | . | . | . | . |
| 2 | 528 | . | . | . | . | . |
| 3 | 480 | . | . | . | . | . |
| 4 | 475 | . | . | . | . | . |
| 5 | 494 | . | . | . | . | . |
| 6 | 511 | . | . | . | . | . |
| 7 | 505 | . | . | . | . | . |
| 8 | 528 | . | . | . | . | . |
| 9 | 516 | 540.000 | 75.4007 | 392.217 | 687.783 | -24.000 |
| 10 | 436 | 479.849 | 75.4007 | 332.067 | 627.632 | -43.849 |
| 11 | 485 | 452.650 | 75.4007 | 304.867 | 600.432 | 32.350 |
| 12 | 486 | 491.074 | 75.4007 | 343.291 | 638.856 | -5.074 |
| 13 | 528 | 509.566 | 75.4007 | 361.784 | 657.349 | 18.434 |
| 14 | 529 | 506.045 | 75.4007 | 358.263 | 653.828 | 22.955 |
| 15 | 553 | 542.951 | 75.4007 | 395.169 | 690.734 | 10.049 |
| 16 | 559 | 553.790 | 75.4007 | 406.007 | 701.573 | 5.210 |

Lampiran 14. Output Peramalan dengan Menggunakan Model ARIMA ([3,20],1,1)(0,1,1)⁷ (Lanjutan).

| | | | | | | |
|----|-----|---------|---------|---------|---------|----------|
| 17 | 515 | 503.439 | 75.4007 | 355.656 | 651.221 | 11.561 |
| 18 | 536 | 511.085 | 75.4007 | 363.302 | 658.868 | 24.915 |
| 19 | 698 | 540.763 | 75.4007 | 392.981 | 688.546 | 157.237 |
| 20 | 621 | 639.544 | 75.4007 | 491.761 | 787.326 | -18.544 |
| 21 | 645 | 622.631 | 75.4007 | 474.848 | 770.414 | 22.369 |
| 22 | 515 | 638.642 | 75.4007 | 490.859 | 786.425 | -123.642 |
| 23 | 544 | 596.932 | 75.4007 | 449.149 | 744.714 | -52.932 |
| 24 | 572 | 515.377 | 75.4007 | 367.595 | 663.160 | 56.623 |
| 25 | 669 | 567.844 | 75.4007 | 420.061 | 715.626 | 101.156 |
| 26 | 720 | 651.775 | 75.4007 | 503.993 | 799.558 | 68.225 |
| 27 | 610 | 684.028 | 75.4007 | 536.246 | 831.811 | -74.028 |
| 28 | 632 | 633.419 | 75.4007 | 485.637 | 781.202 | -1.419 |
| 29 | 586 | 630.828 | 75.4007 | 483.046 | 778.611 | -44.828 |
| 30 | 646 | 629.732 | 75.4007 | 481.949 | 777.515 | 16.268 |
| 31 | 711 | 601.690 | 75.4007 | 453.908 | 749.473 | 109.310 |
| 32 | 709 | 677.010 | 75.4007 | 529.228 | 824.793 | 31.990 |
| 33 | 687 | 727.861 | 75.4007 | 580.078 | 875.643 | -40.861 |
| 34 | 747 | 687.375 | 75.4007 | 539.592 | 835.158 | 59.625 |
| 35 | 645 | 721.639 | 75.4007 | 573.856 | 869.422 | -76.639 |
| 36 | 580 | 687.116 | 75.4007 | 539.334 | 834.899 | -107.116 |
| 37 | 538 | 642.910 | 75.4007 | 495.128 | 790.693 | -104.910 |
| 38 | 662 | 578.285 | 75.4007 | 430.502 | 726.067 | 83.715 |
| 39 | 639 | 662.960 | 75.4007 | 515.177 | 810.742 | -23.960 |
| 40 | 695 | 674.378 | 75.4007 | 526.595 | 822.161 | 20.622 |
| 41 | 606 | 671.003 | 75.4007 | 523.220 | 818.786 | -65.003 |
| 42 | 529 | 609.512 | 75.4007 | 461.730 | 757.295 | -80.512 |
| 43 | 843 | 557.497 | 75.4007 | 409.714 | 705.279 | 285.503 |
| 44 | 710 | 734.467 | 75.4007 | 586.684 | 882.250 | -24.467 |
| 45 | 762 | 735.485 | 75.4007 | 587.702 | 883.267 | 26.515 |
| 46 | 741 | 719.069 | 75.4007 | 571.287 | 866.852 | 21.931 |
| 47 | 717 | 764.772 | 75.4007 | 616.990 | 912.555 | -47.772 |
| 48 | 746 | 725.992 | 75.4007 | 578.209 | 873.775 | 20.008 |
| 49 | 753 | 712.934 | 75.4007 | 565.152 | 860.717 | 40.066 |
| 50 | 753 | 778.173 | 75.4007 | 630.390 | 925.956 | -25.173 |
| 51 | 680 | 766.901 | 75.4007 | 619.119 | 914.684 | -86.901 |
| 52 | 612 | 716.626 | 75.4007 | 568.843 | 864.408 | -104.626 |
| 53 | 654 | 664.501 | 75.4007 | 516.719 | 812.284 | -10.501 |
| 54 | 688 | 702.648 | 75.4007 | 554.866 | 850.431 | -14.648 |
| 55 | 584 | 683.957 | 75.4007 | 536.175 | 831.740 | -99.957 |
| 56 | 556 | 603.356 | 75.4007 | 455.574 | 751.139 | -47.356 |
| 57 | 506 | 596.821 | 75.4007 | 449.038 | 744.603 | -90.821 |
| 58 | 447 | 567.975 | 75.4007 | 420.192 | 715.757 | -120.975 |
| 59 | 635 | 494.018 | 75.4007 | 346.236 | 641.801 | 140.982 |

Lampiran 14. Output Peramalan dengan Menggunakan Model ARIMA ([3,20],1,1)(0,1,1)⁷ (Lanjutan).

| Obs | y | FORECAST | STD | L95 | U95 | RESIDUAL |
|-----|-----|----------|---------|---------|---------|----------|
| 60 | 663 | 588.864 | 75.4007 | 441.082 | 736.647 | 74.136 |
| 61 | 697 | 645.846 | 75.4007 | 498.064 | 793.629 | 51.154 |
| 62 | 655 | 619.623 | 75.4007 | 471.841 | 767.406 | 35.377 |
| 63 | 708 | 663.050 | 75.4007 | 515.267 | 810.832 | 44.950 |
| 64 | 875 | 681.763 | 75.4007 | 533.981 | 829.546 | 193.237 |
| 65 | 532 | 768.943 | 75.4007 | 621.161 | 916.726 | -236.943 |
| 66 | 705 | 651.998 | 75.4007 | 504.215 | 799.780 | 53.002 |
| 67 | 679 | 664.053 | 75.4007 | 516.270 | 811.836 | 14.947 |
| 68 | 701 | 745.629 | 75.4007 | 597.847 | 893.412 | -44.629 |
| 69 | 806 | 685.967 | 75.4007 | 538.185 | 833.750 | 120.033 |
| 70 | 755 | 738.321 | 75.4007 | 590.539 | 886.104 | 16.679 |
| 71 | 666 | 774.630 | 75.4007 | 626.848 | 922.413 | -108.630 |
| 72 | 581 | 630.803 | 75.4007 | 483.020 | 778.586 | -49.803 |
| 73 | 623 | 652.474 | 75.4007 | 504.692 | 800.257 | -29.474 |
| 74 | 718 | 662.011 | 75.4007 | 514.228 | 809.794 | 55.989 |
| 75 | 699 | 706.189 | 75.4007 | 558.406 | 853.972 | -7.189 |
| 76 | 761 | 695.376 | 75.4007 | 547.593 | 843.158 | 65.624 |
| 77 | 791 | 692.315 | 75.4007 | 544.532 | 840.097 | 98.685 |
| 78 | 736 | 762.344 | 75.4007 | 614.562 | 910.127 | -26.344 |
| 79 | 624 | 702.247 | 75.4007 | 554.465 | 850.030 | -78.247 |
| 80 | 621 | 696.636 | 75.4007 | 548.854 | 844.419 | -75.636 |
| 81 | 618 | 687.527 | 75.4007 | 539.744 | 835.310 | -69.527 |
| 82 | 670 | 675.871 | 75.4007 | 528.088 | 823.654 | -5.871 |
| 83 | 784 | 691.730 | 75.4007 | 543.948 | 839.513 | 92.270 |
| 84 | 644 | 753.711 | 75.4007 | 605.929 | 901.494 | -109.711 |
| 85 | 560 | 659.530 | 75.4007 | 511.748 | 807.313 | -99.530 |
| 86 | 522 | 545.304 | 75.4007 | 397.522 | 693.087 | -23.304 |
| 87 | 489 | 576.724 | 75.4007 | 428.941 | 724.507 | -87.724 |
| 88 | 523 | 559.358 | 75.4007 | 411.575 | 707.141 | -36.358 |
| 89 | 695 | 579.492 | 75.4007 | 431.709 | 727.275 | 115.508 |
| 90 | 548 | 658.131 | 75.4007 | 510.348 | 805.913 | -110.131 |
| 91 | 585 | 556.925 | 75.4007 | 409.143 | 704.708 | 28.075 |
| 92 | 554 | 547.864 | 75.4007 | 400.081 | 695.646 | 6.136 |
| 93 | 512 | 505.086 | 75.4007 | 357.303 | 652.868 | 6.914 |
| 94 | 572 | 536.646 | 75.4007 | 388.863 | 684.429 | 35.354 |
| 95 | 529 | 569.970 | 75.4007 | 422.188 | 717.753 | -40.970 |
| 96 | 636 | 599.312 | 75.4007 | 451.529 | 747.095 | 36.688 |
| 97 | 525 | 616.251 | 75.4007 | 468.468 | 764.033 | -91.251 |
| 98 | 462 | 549.740 | 75.4007 | 401.957 | 697.523 | -87.740 |
| 99 | 522 | 485.494 | 75.4007 | 337.712 | 633.277 | 36.506 |
| 100 | 483 | 447.670 | 75.4007 | 299.888 | 595.453 | 35.330 |
| 101 | 466 | 496.573 | 75.4007 | 348.791 | 644.356 | -30.573 |
| 102 | 449 | 487.502 | 75.4007 | 339.720 | 635.285 | -38.502 |
| 103 | 464 | 532.344 | 75.4007 | 384.561 | 680.127 | -68.344 |
| 104 | 433 | 467.878 | 75.4007 | 320.095 | 615.660 | -34.878 |
| 105 | 409 | 417.045 | 75.4007 | 269.262 | 564.827 | -8.045 |
| 106 | 429 | 425.494 | 75.4007 | 277.712 | 573.277 | 3.506 |
| 107 | 365 | 358.795 | 75.4007 | 211.012 | 506.577 | 6.205 |

Lampiran 14. Output Peramalan dengan Menggunakan Model ARIMA ([3,20],1,1)(0,1,1)⁷ (Lanjutan).

| | | | | | | |
|-------------------------------|-----|----------|---------|---------|---------|----------|
| 108 | 398 | 387.071 | 75.4007 | 239.288 | 534.853 | 10.929 |
| 109 | 689 | 418.021 | 75.4007 | 270.238 | 565.803 | 270.979 |
| 110 | 703 | 579.567 | 75.4007 | 431.784 | 727.350 | 123.433 |
| 111 | 740 | 630.677 | 75.4007 | 482.894 | 778.459 | 109.323 |
| 112 | 687 | 622.413 | 75.4007 | 474.630 | 770.195 | 64.587 |
| 113 | 744 | 668.155 | 75.4007 | 520.372 | 815.937 | 75.845 |
| 114 | 743 | 643.145 | 75.4007 | 495.362 | 790.927 | 99.855 |
| 115 | 725 | 712.656 | 75.4007 | 564.874 | 860.439 | 12.344 |
| 116 | 724 | 764.489 | 75.4007 | 616.707 | 912.272 | -40.489 |
| 117 | 709 | 764.104 | 75.4007 | 616.321 | 911.887 | -55.104 |
| 118 | 753 | 723.387 | 75.4007 | 575.605 | 871.170 | 29.613 |
| The SAS System | | | | 29 | | |
| 10:36 Wednesday, May 26, 2016 | | | | | | |
| Obs | y | FORECAST | STD | L95 | U95 | RESIDUAL |
| 119 | 758 | 726.028 | 75.4007 | 578.246 | 873.811 | 31.972 |
| 120 | 774 | 764.995 | 75.4007 | 617.212 | 912.778 | 9.005 |
| 121 | 665 | 702.389 | 75.4007 | 554.607 | 850.172 | -37.389 |
| 122 | 578 | 693.989 | 75.4007 | 546.207 | 841.772 | -115.989 |
| 123 | 726 | 667.103 | 75.4007 | 519.320 | 814.885 | 58.897 |
| 124 | 704 | 737.530 | 75.4007 | 589.747 | 885.313 | -33.530 |
| 125 | 667 | 729.278 | 75.4007 | 581.495 | 877.060 | -62.278 |
| 126 | 583 | 663.066 | 75.4007 | 515.283 | 810.848 | -80.066 |
| 127 | 580 | 641.803 | 75.4007 | 494.020 | 789.585 | -61.803 |
| 128 | 563 | 555.323 | 75.4007 | 407.541 | 703.106 | 7.677 |
| 129 | 642 | 611.997 | 75.4007 | 464.214 | 759.779 | 30.003 |
| 130 | 711 | 676.179 | 75.4007 | 528.397 | 823.962 | 34.821 |
| 131 | 674 | 724.313 | 75.4007 | 576.530 | 872.095 | -50.313 |
| 132 | 707 | 676.544 | 75.4007 | 528.761 | 824.326 | 30.456 |
| 133 | 595 | 666.208 | 75.4007 | 518.425 | 813.990 | -71.208 |
| 134 | 616 | 657.369 | 75.4007 | 509.586 | 805.151 | -41.369 |
| 135 | 504 | 570.048 | 75.4007 | 422.265 | 717.831 | -66.048 |
| 136 | 573 | 555.107 | 75.4007 | 407.324 | 702.889 | 17.893 |
| 137 | 712 | 608.584 | 75.4007 | 460.801 | 756.367 | 103.416 |
| 138 | 696 | 695.840 | 75.4007 | 548.057 | 843.622 | 0.160 |
| 139 | 892 | 690.163 | 75.4007 | 542.381 | 837.946 | 201.837 |
| 140 | 742 | 740.871 | 75.4007 | 593.088 | 888.654 | 1.129 |
| 141 | 582 | 749.953 | 75.4007 | 602.171 | 897.736 | -167.953 |
| 142 | 533 | 562.276 | 75.4007 | 414.493 | 710.058 | -29.276 |
| 143 | 555 | 598.271 | 75.4007 | 450.488 | 746.053 | -43.271 |
| 144 | 551 | 654.887 | 75.4007 | 507.105 | 802.670 | -103.887 |
| 145 | 668 | 611.243 | 75.4007 | 463.460 | 759.025 | 56.757 |
| 146 | 614 | 653.482 | 75.4007 | 505.699 | 801.265 | -39.482 |
| 147 | 593 | 584.859 | 75.4007 | 437.076 | 732.641 | 8.141 |
| 148 | 516 | 571.998 | 75.4007 | 424.216 | 719.781 | -55.998 |
| 149 | 531 | 503.028 | 75.4007 | 355.246 | 650.811 | 27.972 |
| 150 | 580 | 536.794 | 75.4007 | 389.011 | 684.576 | 43.206 |
| 151 | 650 | 613.965 | 75.4007 | 466.183 | 761.748 | 36.035 |
| 152 | 704 | 656.761 | 75.4007 | 508.978 | 804.543 | 47.239 |
| 153 | 735 | 678.153 | 75.4007 | 530.370 | 825.935 | 56.847 |

Lampiran 14. Output Peramalan dengan Menggunakan Model ARIMA ([3,20],1,1)(0,1,1)⁷ (Lanjutan).

| | | | | | | |
|-------------------------------|-----|----------|---------|---------|---------|----------|
| 154 | 595 | 655.835 | 75.4007 | 508.052 | 803.617 | -60.835 |
| 155 | 591 | 594.953 | 75.4007 | 447.170 | 742.736 | -3.953 |
| 156 | 479 | 547.261 | 75.4007 | 399.478 | 695.043 | -68.261 |
| 157 | 546 | 561.054 | 75.4007 | 413.271 | 708.836 | -15.054 |
| 158 | 698 | 604.312 | 75.4007 | 456.530 | 752.095 | 93.688 |
| 159 | 714 | 719.188 | 75.4007 | 571.406 | 866.971 | -5.188 |
| 160 | 579 | 710.687 | 75.4007 | 562.905 | 858.470 | -131.687 |
| 161 | 530 | 545.579 | 75.4007 | 397.796 | 693.362 | -15.579 |
| 162 | 516 | 524.664 | 75.4007 | 376.881 | 672.447 | -8.664 |
| 163 | 416 | 480.526 | 75.4007 | 332.743 | 628.308 | -64.526 |
| 164 | 591 | 466.872 | 75.4007 | 319.089 | 614.655 | 124.128 |
| 165 | 595 | 613.589 | 75.4007 | 465.806 | 761.372 | -18.589 |
| 166 | 699 | 628.230 | 75.4007 | 480.448 | 776.013 | 70.770 |
| 167 | 647 | 646.133 | 75.4007 | 498.350 | 793.916 | 0.867 |
| 168 | 511 | 584.965 | 75.4007 | 437.182 | 732.747 | -73.965 |
| 169 | 542 | 532.228 | 75.4007 | 384.445 | 680.011 | 9.772 |
| 170 | 481 | 482.978 | 75.4007 | 335.196 | 630.761 | -1.978 |
| 171 | 618 | 542.464 | 75.4007 | 394.681 | 690.246 | 75.536 |
| 172 | 663 | 639.743 | 75.4007 | 491.961 | 787.526 | 23.257 |
| 173 | 696 | 692.859 | 75.4007 | 545.077 | 840.642 | 3.141 |
| 174 | 536 | 660.188 | 75.4007 | 512.405 | 807.971 | -124.188 |
| 175 | 566 | 531.271 | 75.4007 | 383.489 | 679.054 | 34.729 |
| 176 | 704 | 530.586 | 75.4007 | 382.803 | 678.369 | 173.414 |
| 177 | 629 | 579.559 | 75.4007 | 431.776 | 727.342 | 49.441 |
| The SAS System | | | | | | 30 |
| 10:36 Wednesday, May 26, 2016 | | | | | | |
| Obs | y | FORECAST | STD | L95 | U95 | RESIDUAL |
| 178 | 752 | 665.384 | 75.4007 | 517.602 | 813.167 | 86.616 |
| 179 | 725 | 747.532 | 75.4007 | 599.749 | 895.315 | -22.532 |
| 180 | 707 | 754.751 | 75.4007 | 606.968 | 902.533 | -47.751 |
| 181 | 735 | 694.818 | 75.4007 | 547.036 | 842.601 | 40.182 |
| 182 | 756 | 669.153 | 75.4007 | 521.370 | 816.935 | 86.847 |
| 183 | 633 | 723.045 | 75.4007 | 575.263 | 870.828 | -90.045 |
| 184 | 624 | 625.379 | 75.4007 | 477.596 | 773.161 | -1.379 |
| 185 | 673 | 673.705 | 75.4007 | 525.923 | 821.488 | -0.705 |
| 186 | 696 | 748.820 | 75.4007 | 601.037 | 896.602 | -52.820 |
| 187 | 682 | 739.346 | 75.4007 | 591.564 | 887.129 | -57.346 |
| 188 | 610 | 679.842 | 75.4007 | 532.060 | 827.625 | -69.842 |
| 189 | 614 | 607.065 | 75.4007 | 459.283 | 754.848 | 6.935 |
| 190 | 598 | 608.462 | 75.4007 | 460.679 | 756.244 | -10.462 |
| 191 | 527 | 563.936 | 75.4007 | 416.154 | 711.719 | -36.936 |
| 192 | 617 | 602.201 | 75.4007 | 454.418 | 749.984 | 14.799 |
| 193 | 695 | 654.842 | 75.4007 | 507.059 | 802.625 | 40.158 |
| 194 | 693 | 681.063 | 75.4007 | 533.281 | 828.846 | 11.937 |
| 195 | 704 | 669.533 | 75.4007 | 521.751 | 817.316 | 34.467 |
| 196 | 759 | 662.991 | 75.4007 | 515.208 | 810.773 | 96.009 |
| 197 | 743 | 704.205 | 75.4007 | 556.423 | 851.988 | 38.795 |
| 198 | 522 | 668.036 | 75.4007 | 520.253 | 815.819 | -146.036 |
| 199 | 556 | 638.667 | 75.4007 | 490.885 | 786.450 | -82.667 |

Lampiran 14. Output Peramalan dengan Menggunakan Model ARIMA ([3,20],1,1)(0,1,1)⁷ (Lanjutan).

| 200 | 712 | 638.977 | 75.4007 | 491.195 | 786.760 | 73.023 |
|-------------------------------|-----|----------|---------|---------|---------|----------|
| 201 | 689 | 726.391 | 75.4007 | 578.609 | 874.174 | -37.391 |
| 202 | 590 | 699.387 | 75.4007 | 551.604 | 847.170 | -109.387 |
| 203 | 494 | 583.410 | 75.4007 | 435.627 | 731.192 | -89.410 |
| 204 | 488 | 541.627 | 75.4007 | 393.844 | 689.409 | -53.627 |
| 205 | 505 | 441.017 | 75.4007 | 293.234 | 588.800 | 63.983 |
| 206 | 469 | 542.841 | 75.4007 | 395.059 | 690.624 | -73.841 |
| 207 | 727 | 561.503 | 75.4007 | 413.721 | 789.286 | 165.497 |
| 208 | 690 | 642.006 | 75.4007 | 494.223 | 789.788 | 47.994 |
| 209 | 616 | 653.063 | 75.4007 | 505.281 | 800.846 | -37.063 |
| 210 | 497 | 571.317 | 75.4007 | 423.535 | 719.100 | -74.317 |
| 211 | 525 | 528.988 | 75.4007 | 381.206 | 676.771 | -3.988 |
| 212 | 466 | 467.714 | 75.4007 | 319.931 | 615.497 | -1.714 |
| 213 | 520 | 533.447 | 75.4007 | 385.664 | 681.229 | -13.447 |
| 214 | 699 | 605.943 | 75.4007 | 458.160 | 753.726 | 93.057 |
| 215 | 722 | 666.808 | 75.4007 | 519.025 | 814.591 | 55.192 |
| 216 | 635 | 669.497 | 75.4007 | 521.714 | 817.280 | -34.497 |
| 217 | 553 | 591.898 | 75.4007 | 444.116 | 739.681 | -38.898 |
| 218 | 498 | 542.911 | 75.4007 | 395.128 | 690.694 | -44.911 |
| 219 | 484 | 454.699 | 75.4007 | 306.917 | 602.482 | 29.301 |
| 220 | 529 | 540.829 | 75.4007 | 393.047 | 688.612 | -11.829 |
| 221 | 697 | 634.492 | 75.4007 | 486.709 | 782.274 | 62.508 |
| 222 | 737 | 659.843 | 75.4007 | 512.060 | 807.625 | 77.157 |
| 223 | 622 | 645.575 | 75.4007 | 497.792 | 793.357 | -23.575 |
| 224 | 556 | 573.511 | 75.4007 | 425.728 | 721.293 | -17.511 |
| 225 | 542 | 563.483 | 75.4007 | 415.700 | 711.265 | -21.483 |
| 226 | 445 | 487.405 | 75.4007 | 339.622 | 635.188 | -42.405 |
| 227 | 488 | 546.225 | 75.4007 | 398.442 | 694.007 | -58.225 |
| 228 | 717 | 617.978 | 75.4007 | 470.195 | 765.760 | 99.022 |
| 229 | 887 | 681.809 | 75.4007 | 534.027 | 829.592 | 205.191 |
| 230 | 558 | 721.467 | 75.4007 | 573.684 | 869.249 | -163.467 |
| 231 | 542 | 574.882 | 75.4007 | 427.100 | 722.665 | -32.882 |
| 232 | 467 | 528.204 | 75.4007 | 380.421 | 675.986 | -61.204 |
| 233 | 509 | 467.801 | 75.4007 | 320.019 | 615.584 | 41.199 |
| 234 | 566 | 546.676 | 75.4007 | 398.893 | 694.458 | 19.324 |
| 235 | 708 | 690.272 | 75.4007 | 542.489 | 838.054 | 17.728 |
| 236 | 694 | 713.500 | 75.4007 | 565.718 | 861.283 | -19.500 |
| The SAS System | | | | | | 31 |
| 10:36 Wednesday, May 26, 2016 | | | | | | |
| Obs | y | FORECAST | STD | L95 | U95 | RESIDUAL |
| 237 | 652 | 608.916 | 75.401 | 461.133 | 756.70 | 43.084 |
| 238 | 563 | 572.362 | 75.401 | 424.579 | 720.14 | -9.362 |
| 239 | 528 | 561.531 | 75.401 | 413.748 | 709.31 | -33.531 |
| 240 | 431 | 486.595 | 75.401 | 338.812 | 634.38 | -55.595 |
| 242 | 601 | 698.735 | 75.401 | 550.952 | 846.52 | -97.735 |
| 243 | 701 | 673.577 | 75.401 | 525.795 | 821.36 | 27.423 |
| 244 | 724 | 586.531 | 75.401 | 438.749 | 734.31 | 137.469 |
| 245 | 671 | 618.532 | 75.401 | 470.749 | 766.31 | 52.468 |
| 246 | 587 | 609.119 | 75.401 | 461.336 | 756.90 | -22.119 |

Lampiran 14. Output Peramalan dengan Menggunakan Model ARIMA ([3,20],1,1)(0,1,1)⁷ (Lanjutan).

| | | | | | | |
|-----|-----|---------|---------|---------|---------|----------|
| 247 | 574 | 526.426 | 75.401 | 378.643 | 674.21 | 47.574 |
| 248 | 635 | 634.425 | 75.401 | 486.642 | 782.21 | 0.575 |
| 249 | 616 | 773.626 | 75.401 | 625.844 | 921.41 | -157.626 |
| 250 | 690 | 686.988 | 75.401 | 539.205 | 834.77 | 3.012 |
| 251 | 515 | 625.243 | 75.401 | 477.460 | 773.03 | -110.243 |
| 252 | 495 | 522.775 | 75.401 | 374.992 | 670.56 | -27.775 |
| 253 | 636 | 489.496 | 75.401 | 341.714 | 637.28 | 146.504 |
| 254 | 497 | 526.774 | 75.401 | 378.991 | 674.56 | -29.774 |
| 255 | 560 | 576.213 | 75.401 | 428.430 | 724.00 | -16.213 |
| 256 | 702 | 632.159 | 75.401 | 484.376 | 779.94 | 69.841 |
| 257 | 695 | 727.529 | 75.401 | 579.747 | 875.31 | -32.529 |
| 258 | 614 | 622.918 | 75.401 | 475.135 | 770.70 | -8.918 |
| 259 | 593 | 560.374 | 75.401 | 412.592 | 708.16 | 32.626 |
| 260 | 734 | 568.873 | 75.401 | 421.091 | 716.66 | 165.127 |
| 261 | 531 | 607.497 | 75.401 | 459.714 | 755.28 | -76.497 |
| 262 | 542 | 612.189 | 75.401 | 464.407 | 759.97 | -70.189 |
| 263 | 749 | 666.871 | 75.401 | 519.088 | 814.65 | 82.129 |
| 264 | 708 | 777.169 | 75.401 | 629.387 | 924.95 | -69.169 |
| 265 | 775 | 666.603 | 75.401 | 518.820 | 814.39 | 108.397 |
| 266 | 767 | 653.034 | 75.401 | 505.252 | 800.82 | 113.966 |
| 267 | 789 | 737.978 | 75.401 | 590.196 | 885.76 | 51.022 |
| 268 | 728 | 663.430 | 75.401 | 515.648 | 811.21 | 64.570 |
| 269 | 718 | 732.043 | 75.401 | 584.261 | 879.83 | -14.043 |
| 270 | 712 | 841.550 | 75.401 | 693.767 | 989.33 | -129.550 |
| 271 | 718 | 784.659 | 75.401 | 636.877 | 932.44 | -66.659 |
| 272 | 787 | 700.953 | 75.401 | 553.170 | 848.74 | 86.047 |
| 273 | 781 | 742.598 | 75.401 | 594.815 | 890.38 | 38.402 |
| 274 | 785 | 764.869 | 75.401 | 617.087 | 912.65 | 20.131 |
| 275 | 759 | 679.757 | 75.401 | 531.974 | 827.54 | 79.243 |
| 276 | . | 772.378 | 75.401 | 624.595 | 920.16 | . |
| 277 | . | 864.136 | 84.513 | 698.493 | 1029.78 | . |
| 278 | . | 881.309 | 92.734 | 699.553 | 1063.07 | . |
| 279 | . | 843.487 | 97.046 | 653.281 | 1033.69 | . |
| 280 | . | 828.638 | 102.609 | 627.528 | 1029.75 | . |
| 281 | . | 821.168 | 107.886 | 609.716 | 1032.62 | . |
| 282 | . | 740.966 | 113.281 | 518.939 | 962.99 | . |
| 283 | . | 798.749 | 121.384 | 560.841 | 1036.66 | . |
| 284 | . | 887.165 | 127.445 | 637.377 | 1136.95 | . |
| 285 | . | 932.102 | 133.186 | 671.062 | 1193.14 | . |
| 286 | . | 890.478 | 138.373 | 619.271 | 1161.68 | . |
| 287 | . | 859.261 | 143.532 | 577.943 | 1140.58 | . |
| 288 | . | 868.305 | 148.517 | 577.217 | 1159.39 | . |
| 289 | . | 785.622 | 153.377 | 485.009 | 1086.23 | . |
| 290 | . | 815.427 | 160.679 | 500.503 | 1130.35 | . |
| 291 | . | 908.380 | 166.363 | 582.315 | 1234.44 | . |
| 292 | . | 953.913 | 171.854 | 617.085 | 1290.74 | . |
| 293 | . | 916.122 | 176.883 | 569.437 | 1262.81 | . |
| 294 | . | 881.790 | 181.914 | 525.246 | 1238.33 | . |
| 295 | . | 895.697 | 186.810 | 529.557 | 1261.84 | . |

Lampiran 14. Output Peramalan dengan Menggunakan Model ARIMA ([3,20],1,1)(0,1,1)⁷ (Lanjutan).

| Obs | y | FORECAST | STD | L95 | U95 | RESIDUAL |
|--|---------------|---------------|-------------------|------------|---------|----------|
| 296 | . | 815.83 | 194.259 | 435.084 | 1196.57 | . |
| 297 | . | 859.82 | 202.623 | 462.687 | 1256.95 | . |
| 298 | . | 953.73 | 209.400 | 543.315 | 1364.15 | . |
| 299 | . | 983.84 | 215.316 | 561.825 | 1405.85 | . |
| 300 | . | 943.00 | 221.099 | 509.649 | 1376.34 | . |
| 301 | . | 906.92 | 226.870 | 462.266 | 1351.58 | . |
| 302 | . | 915.14 | 232.611 | 459.230 | 1371.05 | . |
| 303 | . | 841.92 | 238.490 | 374.490 | 1309.35 | . |
| 304 | . | 885.67 | 246.302 | 402.924 | 1368.41 | . |
| 305 | . | 984.22 | 252.739 | 488.857 | 1479.58 | . |
| 306 | . | 1012.94 | 258.947 | 505.414 | 1520.47 | . |
| The UNIVARIATE Procedure | | | | | | |
| Variable: RESIDUAL (Residual: Actual-Forecast) | | | | | | |
| Moments | | | | | | |
| N | | 267 | Sum Weights | 267 | | |
| Mean | | 0.80564442 | Sum Observations | 215.10706 | | |
| Std Deviation | | 74.9699384 | Variance | 5620.49167 | | |
| Skewness | | 0.45194983 | Kurtosis | 1.10526789 | | |
| Uncorrected SS | | 1495224.08 | Corrected SS | 1495050.78 | | |
| Coeff Variation | | 9305.58652 | Std Error Mean | 4.58808572 | | |
| Basic Statistical Measures | | | | | | |
| Location | Variability | | | | | |
| Mean | 0.80564 | Std Deviation | 74.96994 | | | |
| Median | -1.41933 | Variance | 5620 | | | |
| Mode | . | Range | 522.44663 | | | |
| Interquartile Range | | | | | | |
| Tests for Location: Mu0=0 | | | | | | |
| Test | -Statistic- | | -----p Value----- | | | |
| Student's t | t | 0.175595 | Pr > t | 0.8607 | | |
| Sign | M | -2.5 | Pr >= M | 0.8067 | | |
| Signed Rank | S | -477 | Pr >= S | 0.7064 | | |
| Tests for Normality | | | | | | |
| Test | --Statistic-- | | -----p Value----- | | | |
| Shapiro-Wilk | W | 0.984995 | Pr < W | 0.0067 | | |
| Kolmogorov-Smirnov | D | 0.045033 | Pr > D | >0.1500 | | |
| Cramer-von Mises | W-Sq | 0.084929 | Pr > W-Sq | 0.1848 | | |
| Anderson-Darling | A-Sq | 0.649357 | Pr > A-Sq | 0.0917 | | |
| Quantiles (Definition 5) | | | | | | |
| Quantile | Estimate | | | | | |
| 100% Max | 285.50343 | | | | | |
| 99% | 205.19054 | | | | | |
| 95% | 123.43293 | | | | | |
| 90% | 93.68785 | | | | | |
| 75% Q3 | 43.08411 | | | | | |
| 50% Median | -1.41933 | | | | | |
| 25% Q1 | -47.77237 | | | | | |
| 10% | -89.40976 | | | | | |
| 5% | -109.71130 | | | | | |

Lampiran 15. Perhitungan RMSE dan MAPE dari Kedua Model.

| l | Z_{n+l} | A ₁ | A ₂ | $e_l(A_1)$ | $e_l(A_2)$ | $(e_l(A_1))^2$ | $(e_l(A_2))^2$ |
|-----|-----------|----------------|----------------|------------|------------|----------------|----------------|
| 1 | 671 | 622.91 | 618.41 | 48.09 | 52.59 | 2312.61 | 2765.63 |
| 2 | 587 | 578.43 | 579.63 | 8.57 | 7.37 | 73.39 | 54.35 |
| 3 | 574 | 511.46 | 506.76 | 62.54 | 67.24 | 3911.15 | 4520.95 |
| 4 | 635 | 574.98 | 600.79 | 60.02 | 34.21 | 3602.20 | 1170.42 |
| 5 | 616 | 683.68 | 739.54 | -67.68 | -123.54 | 4580.79 | 15262.45 |
| 6 | 690 | 721.11 | 739.10 | -31.11 | -49.10 | 967.66 | 2411.13 |
| 7 | 515 | 649.24 | 668.92 | -134.24 | -153.92 | 18021.34 | 23692.01 |
| 8 | 495 | 587.94 | 593.16 | -92.94 | -98.16 | 8638.20 | 9635.05 |
| 9 | 636 | 562.22 | 589.48 | 73.78 | 46.52 | 5443.61 | 2163.89 |
| 10 | 497 | 504.09 | 531.37 | -7.09 | -34.37 | 50.23 | 1181.58 |
| 11 | 560 | 571.78 | 607.89 | -11.78 | -47.89 | 138.65 | 2293.50 |
| 21 | 702 | 682.44 | 713.39 | 19.56 | -11.39 | 382.63 | 129.71 |
| 13 | 695 | 720.79 | 755.43 | -25.79 | -60.43 | 665.16 | 3651.68 |
| 14 | 614 | 649.36 | 676.30 | -35.36 | -62.30 | 1250.56 | 3881.51 |
| 15 | 593 | 588.27 | 611.23 | 4.73 | -18.23 | 22.40 | 332.28 |
| 16 | 734 | 562.64 | 580.28 | 171.36 | 153.72 | 29363.74 | 23631.22 |
| 17 | 531 | 504.56 | 541.97 | 26.44 | -10.97 | 699.33 | 120.35 |
| 18 | 542 | 572.26 | 593.95 | -30.26 | -51.95 | 915.95 | 2699.25 |
| 19 | 749 | 682.94 | 720.80 | 66.06 | 28.20 | 4364.08 | 795.10 |
| 20 | 708 | 721.30 | 770.24 | -13.30 | -62.24 | 176.76 | 3873.74 |
| 21 | 775 | 649.87 | 691.86 | 125.13 | 83.14 | 15657.47 | 6912.97 |
| 22 | 767 | 588.78 | 623.31 | 178.22 | 143.69 | 31764.08 | 20646.24 |
| 23 | 789 | 563.15 | 595.10 | 225.85 | 193.90 | 51008.27 | 37597.40 |
| 24 | 728 | 505.06 | 543.84 | 222.94 | 184.16 | 49700.55 | 33916.08 |
| 25 | 718 | 572.77 | 618.87 | 145.23 | 99.13 | 21090.77 | 9825.86 |
| 26 | 712 | 683.45 | 729.79 | 28.55 | -17.79 | 815.25 | 316.46 |
| 27 | 718 | 721.80 | 766.54 | -3.80 | -48.54 | 14.47 | 2355.92 |
| 28 | 787 | 650.38 | 689.66 | 136.62 | 97.34 | 18665.30 | 9474.84 |
| 29 | 781 | 589.28 | 628.71 | 191.72 | 152.29 | 36755.02 | 23192.21 |
| 30 | 785 | 563.66 | 604.50 | 221.34 | 180.50 | 48991.93 | 32580.86 |
| 31 | 759 | 505.57 | 550.32 | 253.43 | 208.68 | 64225.40 | 43547.88 |

Keterangan :

A₁ = $\hat{Z}_n(l)$ dari Model ARIMA (1,1,1)(0,1,1)⁷

A₂ = $\hat{Z}_n(l)$ dari Model ARIMA ([3,20],1,1)(0,1,1)⁷

- Model ARIMA (1,1,1)(0,1,1)⁷

$$\begin{aligned}
 RMSE &= \sqrt{\frac{1}{M} \sum_{l=1}^M e_l^2} = \sqrt{\frac{1}{31} \sum_{l=1}^{31} (Z_{n+l} - \hat{Z}_n(l))^2} = \sqrt{\frac{1}{31} (424268.92)} \\
 &= \sqrt{13686.09} \\
 &= 116.9876
 \end{aligned}$$

- Model ARIMA ([3,20],1,1)(0,1,1)⁷

$$\begin{aligned}
 RMSE &= \sqrt{\frac{1}{M} \sum_{l=1}^M e_l^2} = \sqrt{\frac{1}{31} \sum_{l=1}^{31} (Z_{n+l} - \hat{Z}_n(l))^2} = \sqrt{\frac{1}{31} (324632.56)} \\
 &= \sqrt{10472.018} \\
 &= 102.3329
 \end{aligned}$$

- Model ARIMA (1,1,1)(0,1,1)⁷

$$\begin{aligned}
 MAPE &= \left(\frac{1}{M} \sum_{l=1}^M \left| \frac{e_l}{Z_{n+l}} \right| \right) \times 100\% = \left(\frac{1}{31} 3.89 \right) \times 100\% = 0.1254819 \times 100\% \\
 &= 12.54819\%
 \end{aligned}$$

- Model ARIMA ([3,20],1,1)(0,1,1)⁷

$$\begin{aligned}
 MAPE &= \left(\frac{1}{M} \sum_{l=1}^M \left| \frac{e_l}{Z_{n+l}} \right| \right) \times 100\% = \left(\frac{1}{31} 3.79 \right) \times 100\% = 0.1223581 \times 100\% \\
 &= 12.23581\%
 \end{aligned}$$

DAFTAR LAMPIRAN

Halaman

| | | |
|--------------------|--|----|
| Lampiran 1 | Surat Keterangan dari PT.KAI (Persero) DAOP IV Semarang..... | 43 |
| Lampiran 2 | Data Jumlah Penumpang KRD Bojonegoro Rute Bojonegoro-Surabaya | 44 |
| Lampiran 3 | Syntax SAS untuk Pengujian <i>Augmented Dickey Fuller Data In Sample</i> | 45 |
| Lampiran 4 | Syntax SAS untuk Pengujian <i>Augmented Dickey Fuller data In Sample</i> dengan <i>Differencing 1</i> | 46 |
| Lampiran 5 | Syntax SAS untuk Pengujian <i>Augmented Dickey Fuller data In Sample</i> dengan <i>Differencing 1 dan 7</i> | 47 |
| Lampiran 6 | Syntax SAS untuk Model ARIMA $(1,1,1)(0,1,1)^7$ | 48 |
| Lampiran 7 | Syntax SAS untuk Model ARIMA $([3,20],1,1)(0,1,1)^7$ | 49 |
| Lampiran 8 | Syntax SAS untuk Peramalan Menggunakan Model ARIMA $([3,20],1,1)(0,1,1)^7$ | 50 |
| Lampiran 9 | Output Pengujian <i>Augmented Dickey Fuller Data In Sample</i> | 51 |
| Lampiran 10 | Output Pengujian <i>Augmented Dickey Fuller Data In Sample</i> dengan <i>Differencing 1</i> | 52 |
| Lampiran 11 | Output Pengujian <i>Augmented Dickey Fuller Data In Sample</i> dengan <i>Differencing 1 dan 7..</i> | 53 |
| Lampiran 12 | Output untuk Model ARIMA $(1,1,1)(0,1,1)^7$... | 54 |
| Lampiran 12 | Output untuk Model ARIMA $(1,1,1)(0,1,1)^7$ (Lanjutan)..... | 55 |
| Lampiran 12 | Output untuk Model ARIMA $(1,1,1)(0,1,1)^7$ (Lanjutan)..... | 56 |
| Lampiran 13 | Output untuk Model ARIMA $([3,20],1,1)(0,1,1)^7$ | 57 |

| | |
|---|----|
| Lampiran 13 Output untuk Model ARIMA ([3,20],1,1) (0,1,1) ⁷ (Lanjutan) | 58 |
| Lampiran 13 Output untuk Model ARIMA ([3,20],1,1) (0,1,1) ⁷ (Lanjutan) | 59 |
| Lampiran 14 Output Peramalan Menggunakan Model ARIMA ([3,20],1,1)(0,1,1) ⁷ | 60 |
| Lampiran 14 Output Peramalan Menggunakan Model ARIMA ([3,20],1,1)(0,1,1) ⁷ (Lanjutan)..... | 61 |
| Lampiran 14 Output Peramalan Menggunakan Model ARIMA ([3,20],1,1)(0,1,1) ⁷ (Lanjutan)..... | 62 |
| Lampiran 14 Output Peramalan Menggunakan Model ARIMA ([3,20],1,1)(0,1,1) ⁷ (Lanjutan)..... | 63 |
| Lampiran 14 Output Peramalan Menggunakan Model ARIMA ([3,20],1,1)(0,1,1) ⁷ (Lanjutan)..... | 64 |
| Lampiran 14 Output Peramalan Menggunakan Model ARIMA ([3,20],1,1)(0,1,1) ⁷ (Lanjutan)..... | 65 |
| Lampiran 14 Output Peramalan Menggunakan Model ARIMA ([3,20],1,1)(0,1,1) ⁷ (Lanjutan)..... | 66 |
| Lampiran 14 Output Peramalan Menggunakan Model ARIMA ([3,20],1,1)(0,1,1) ⁷ (Lanjutan)..... | 67 |
| Lampiran 14 Output Peramalan Menggunakan Model ARIMA ([3,20],1,1)(0,1,1) ⁷ (Lanjutan)..... | 68 |
| Lampiran 15 Perhitungan RMSE dan MAPE dari Kedua Model | 69 |

BAB V

KESIMPULAN DAN SARAN

5.1 Kesimpulan

Berdasarkan analisis dan pembahasan data harian jumlah penumpang KRD Bojonegoro rute Bojonegoro-Surabaya dengan menggunakan ARIMA *Box-Jenkins* dapat disimpulkan beberapa hal sebagai berikut.

1. Hasil pembentukan model pada jumlah penumpang KRD Bojonegoro rute Bojonegoro-Surabaya yaitu.

$$Z_t = Z_{t-1} + 0.13509Z_{t-3} - 0.13509Z_{t-4} + Z_{t-7} - Z_{t-8} - 0.13509Z_{t-10} + \\ 0.13509Z_{t-11} + 0.15495Z_{t-20} - 0.15495Z_{t-21} - 0.15495Z_{t-27} + \\ 0.15495Z_{t-28} - 0.48327a_{t-1} - 0.85476a_{t-7} + 0.41308a_{t-8} + a_t$$

Dapat diartikan bahwa jumlah penumpang KRD Bojonegoro dipengaruhi oleh data tiga, empat, sepuluh, sebelas, dua puluh, 21, 27 dan 28 hari sebelumnya dan kesalahan satu, tujuh, delapan hari yang lalu.

2. Hasil peramalan harian jumlah penumpang KRD Bojonegoro rute Bojonegoro-Surabaya pada bulan januari 2016 diperkirakan penumpang terbanyak pada hari Minggu tanggal 31 Januari 2016 dan penumpang paling sedikit diperkirakan pada hari Kamis tanggal 7 Januari 2016.

5.2 Saran

Saran untuk penelitian selanjutnya adalah dapat menambahkan metode penelitian yang lebih sesuai dengan hasil analisis yang telah diperoleh yaitu menambahkan efek variasi kalender dan hari libur. Hari libur tersebut seperti tanggal merah dan musim gajian yang terjadi disekitar tanggal tertentu setiap bulannya.

DAFTAR PUSTAKA

- Bowerman, B. L., dan O'Connell, R. T. (1993). *Forecasting and Time series: an Applied Approach*,2nd Edition. California: Duxbury Press.
- Cryer, J. D., and Chan, K. S. (2008). *Time Series Analysis with Application in R*. Second Edition. New York : Springer.
- Kartikawati, A. Y. (2012). *Analisis Peramalan Bahan Bakar Minyak (BBM) Jenis Premium di SPBU Al Amin Campurdarat Tulungagung Dengan Menggunakan Metode ARIMA Box-Jenkins*. Surabaya : Institut Teknologi Sepuluh Nopember.
- Minitab Inc. (2010). *Minitab Statistical Glossary in Minitab 16.2.1*
- Musyafa, A. (2004). *Analisis Deret Waktu Untuk Meramalkan Jumlah Penumpang Kereta Api Rapih Dhoho Jurusan Surabaya-Blitar Lewat Kertosono*. Surabaya : Institut Teknologi Sepuluh Nopember.
- PT. KAI (Persero). (2015). *1 April 2015, KA Ekonomi Sidoarjo – Surabaya Gubeng – Surabaya Pasarturi – Bojonegoro Berooperasi*. https://kereta-api.co.id/?_it8tn2=Mg==&_8dnts=Z-GVOYWls&_42ph=MTA=&_24nd=NDYx. Diakses pada hari Selasa, 26 Januari 2016 pukul 22.25 WIB.
- Rahmandhani, R. (2010). *Peramalan Banyaknya Penumpang Kereta Api Kelas Bisnis Eksekutif jurusan Madiun-Jakarta di PT. Kereta Api (Persero) DAOP VII Madiun*. Surabaya : Institut Teknologi Sepuluh Nopember.
- Website Resmi PT. KAI (Persero) <https://www.kereta-api.co.id> diakses pada hari Selasa, 26 Januari 2016 pukul 22.25 WIB.
- Wei, W. W. S. (2006). *Time series Analysis: Univariate and Multivariate Methods*, 2nd Edition. New York: Pearson.
- Wijaya, H. N. (2011). *Peramalan Banyaknya Penumpang Harian Kereta Rel Diesel (KRD) Tujuan Kertosono dari Surabaya*. Surabaya : Institut Teknologi Sepuluh Nopember.

BIODATA PENULIS



Penulis bernama lengkap Erisandy Purwaditya Putri atau lebih akrab dipanggil “Risa”. Penulis lahir di Kabupaten Bojonegoro pada hari Selasa tanggal 20 Desember 1994, anak pertama dari dua bersaudara yang terlahir dari pasangan Agus Purwoko dan Endah Ari Ernawati. Pendidikan formal yang pernah ditempuh penulis adalah TK Sidobandung 2, SDN Sidobandung 2, SMPN 1 Balen dan SMAN 1 Bojonegoro. Pada tahun 2013 penulis diterima di Jurusan Statistika ITS melalui ujian masuk Diploma dengan NRP 1313030097 dan lulus pada tahun 2016. Selama kuliah penulis menerima pengalaman kepanitiaan dalam beberapa program kerja dari HIMADATA-ITS, selain itu penulis juga menerima pengalaman organisasi yaitu menjadi Sekertaris Departemen Kewirausahaan HIMADATA-ITS. Bagi pembaca yang ingin memberi saran, kritik atau ingin berdiskusi lebih lanjut dengan penulis terkait pertanyaan-pertanyaan mengenai laporan Tugas Akhir ini dapat menghubungi penulis melalui alamat e-mail erisandyputri20@gmail.com.